

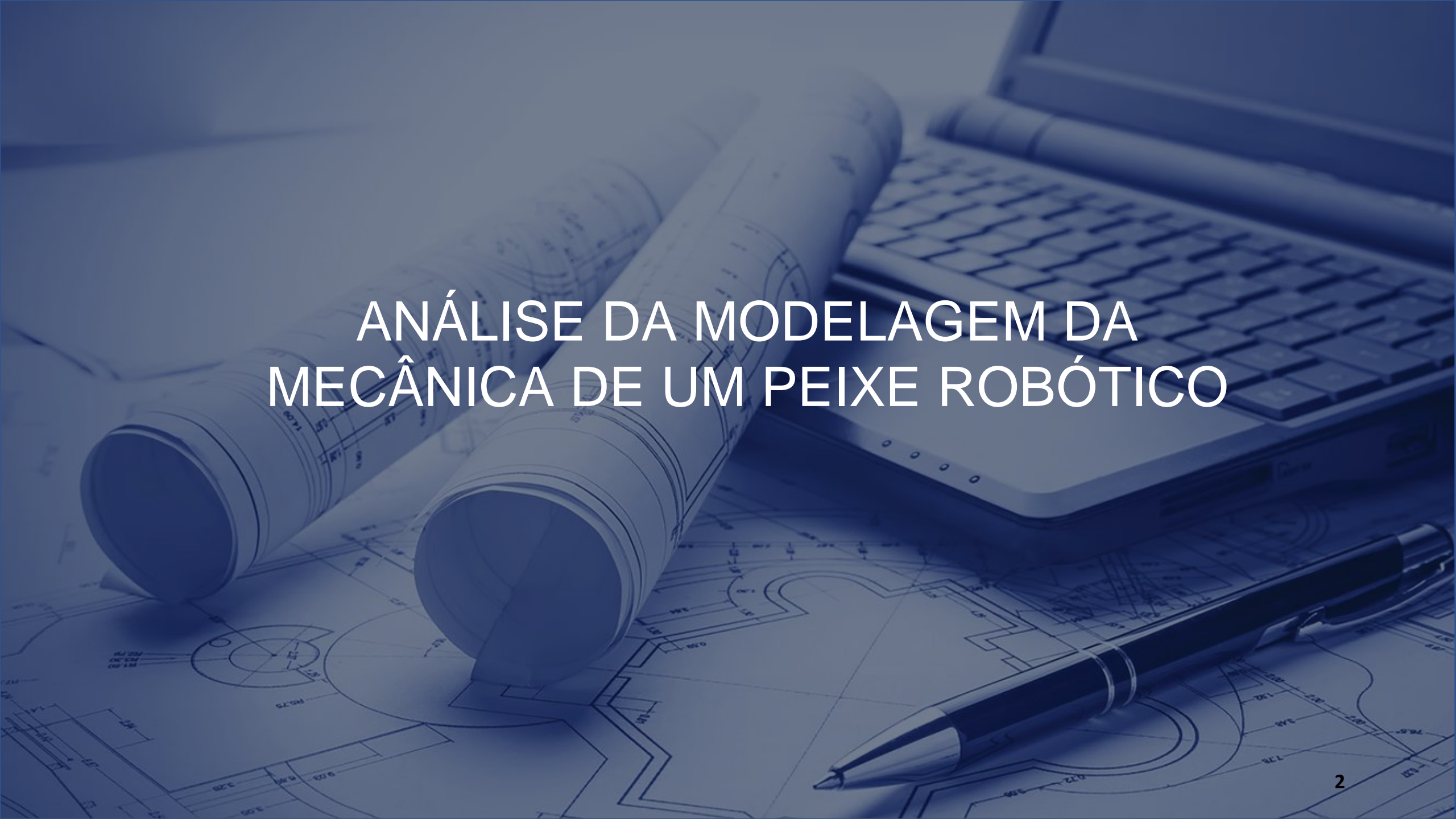


PME 3380 – Modelagem de Sistemas Dinâmicos (2020)

Professores: Agenor de Toledo Fleury e Décio Crisol Donha

Arthur Pinho #USP: 10379756
Henrique Aquino #USP: 10772543
Pedro Oliveira #USP: 10335569
Murilo Bono #USP: 10274565

2020

The background features a blue-tinted image of a workspace. In the foreground, there are two rolled-up blueprints with technical drawings and dimensions. A laptop is partially visible in the upper right, and a black pen lies on the blueprints in the lower right. The overall scene suggests a professional or academic environment related to engineering or design.

ANÁLISE DA MODELAGEM DA MECÂNICA DE UM PEIXE ROBÓTICO

The background image is a monochromatic blue-tinted photograph. It depicts a workspace for an architect or engineer. In the foreground, there are two rolled-up blueprints with technical drawings and dimensions. To the right, a laptop is partially visible, showing its keyboard. In the bottom right corner, a black pen with a silver tip lies on a flat blueprint. The overall scene is professional and technical.

Introdução

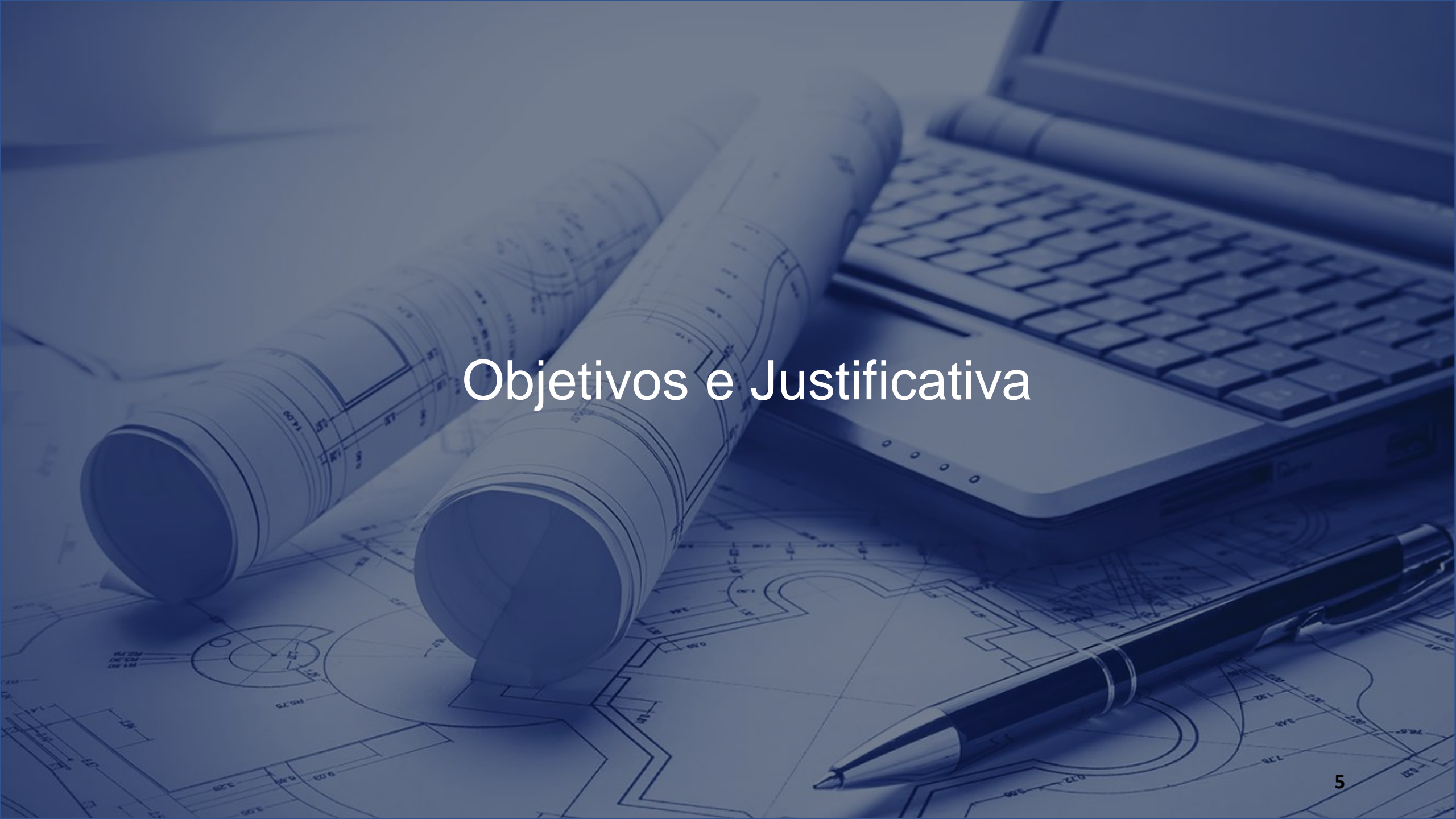


- Em anos recentes, a fascinante abordagem robótica de comportamentos e movimentos biológicos têm sido cada vez mais explorada. Como um exemplo, observa-se o crescente desenvolvimento de animais biônicos pela empresa FESTO
- Neste campo de estudo, destaca-se o foco dado a peixes e demais animais aquáticos, justificada pela motivação em se obter Veículos Não-Tripulados Subaquáticos (AUVs) com maior eficiência e manobrabilidade (YU; WANG, 2005)
- Dentre as vertentes mais citadas no estudo dos peixes, encontra-se a capacidade de autopropulsão
- Diversos pesquisadores se debruçaram sobre análises a respeito da modelagem e controle dos peixes robóticos

Protótipo de Peixe Robótico com



Fonte: Malec, Morawski e Zajac (2010)

The background of the slide features a monochromatic blue-tinted image. It depicts a professional workspace with architectural blueprints spread across a desk. A laptop is partially visible in the upper right, and a fountain pen lies on the blueprints in the lower right. Two rolled-up blueprints are positioned diagonally across the center-left. The overall aesthetic is clean and technical.

Objetivos e Justificativa



Objetivos

Dado o cenário apresentado, o presente trabalho tem por intenção: **desenvolver a modelagem dinâmica de um peixe robótico com capacidade de autopropulsão, dada uma entrada conhecida de um atuador.** Como objetivos secundários, espera-se verificar a estabilidade do sistema e analisar as respostas individuais de cada saída frente à diferentes entradas, por meio de funções de transferência e simulação computacional, além de colaborar para o avanço dos estudos já existentes.

Justificativa

O estudo da modelagem de um peixe robótico, além de se enquadrar como um projeto completo quanto ao estudo de modelagem, promove um avanço no estudo do desenvolvimento e otimização de tecnologia subaquática, sendo, pois, de grande interesse e importância para o Engenheiro Mecânico.

The image is a blue-tinted photograph of a workspace. In the foreground, there are two rolled-up architectural blueprints. One is partially unrolled, showing technical drawings with lines and text. To the right, a laptop is open, with its keyboard visible. In the bottom right corner, a black pen with a silver tip lies on a flat surface, likely another blueprint. The overall scene suggests a professional or technical environment.

Modelo Físico

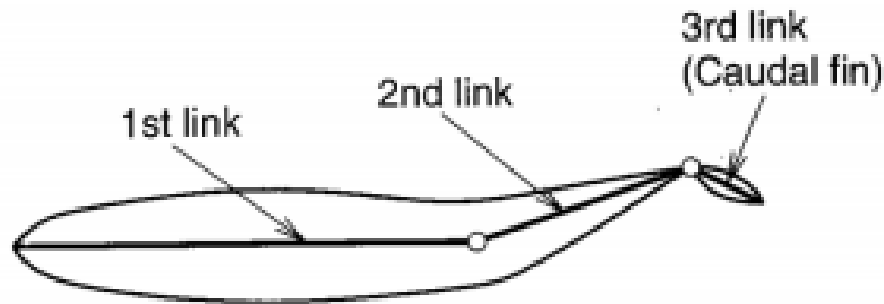


Modelo Físico

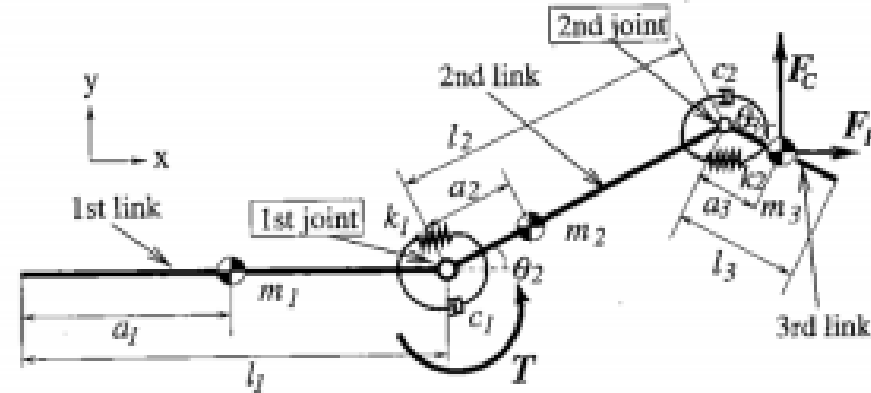
- Bibliografia Básica
- Hipóteses Simplificadoras
- Modelo Proposto

- Frente a inúmeros estudos buscou-se identificar propostas que se aproximassem dos objetivos deste trabalho. Assim, despertou grande interesse o modelo físico e a abordagem sugerida por Nakashima, Ohgishi e Ono (2003)
- O seu trabalho remete ao estudo do peixe carangiforme
- Nakashima, Ohgishi e Ono (2003) propõem o estudo de um modelo de três barras rígidas com um único atuador, localizado entre a primeira e a segunda barra

Modelo Físico Referência



(a) Estrutura base do modelo



(b) Modelo Físico completo



Modelo Físico

- Bibliografia Básica
- Hipóteses Simplificadoras
- Modelo Proposto

- Sistema composto por barras rígidas unidimensionais, de massa concentrada no centro de massa
- Primeira barra sem movimento angular (oscilação em $\approx 1/3$ do corpo) e sem deslocamento na direção do eixo y
- Forças hidrodinâmicas de inércia (FJ) e sustentação (FV) aplicadas apenas na nadadeira caudal
- Força de arrasto (F d) resistiva aplicada no centro de massa do sistema
- Influência desprezível da força de arrasto nos deslocamentos e velocidades angulares
- Movimento no eixo z será desprezado (desprezados efeitos de gravidade e flutuação)
- Oscilações pequenas em torno do ponto de operação
- Vibrações do atuador desprezíveis
- Atuador com massa desprezível.

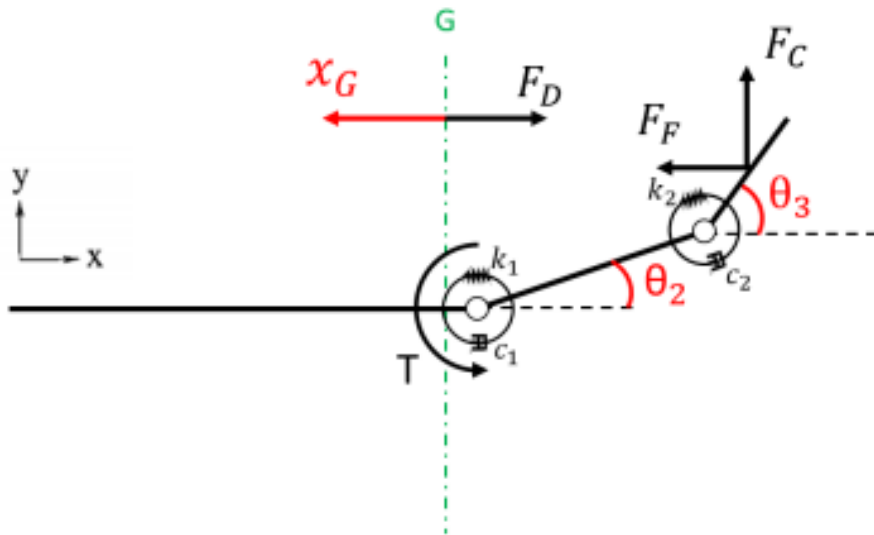


Modelo Físico

- Bibliografia Básica
- Hipóteses Simplificadoras
- Modelo Proposto

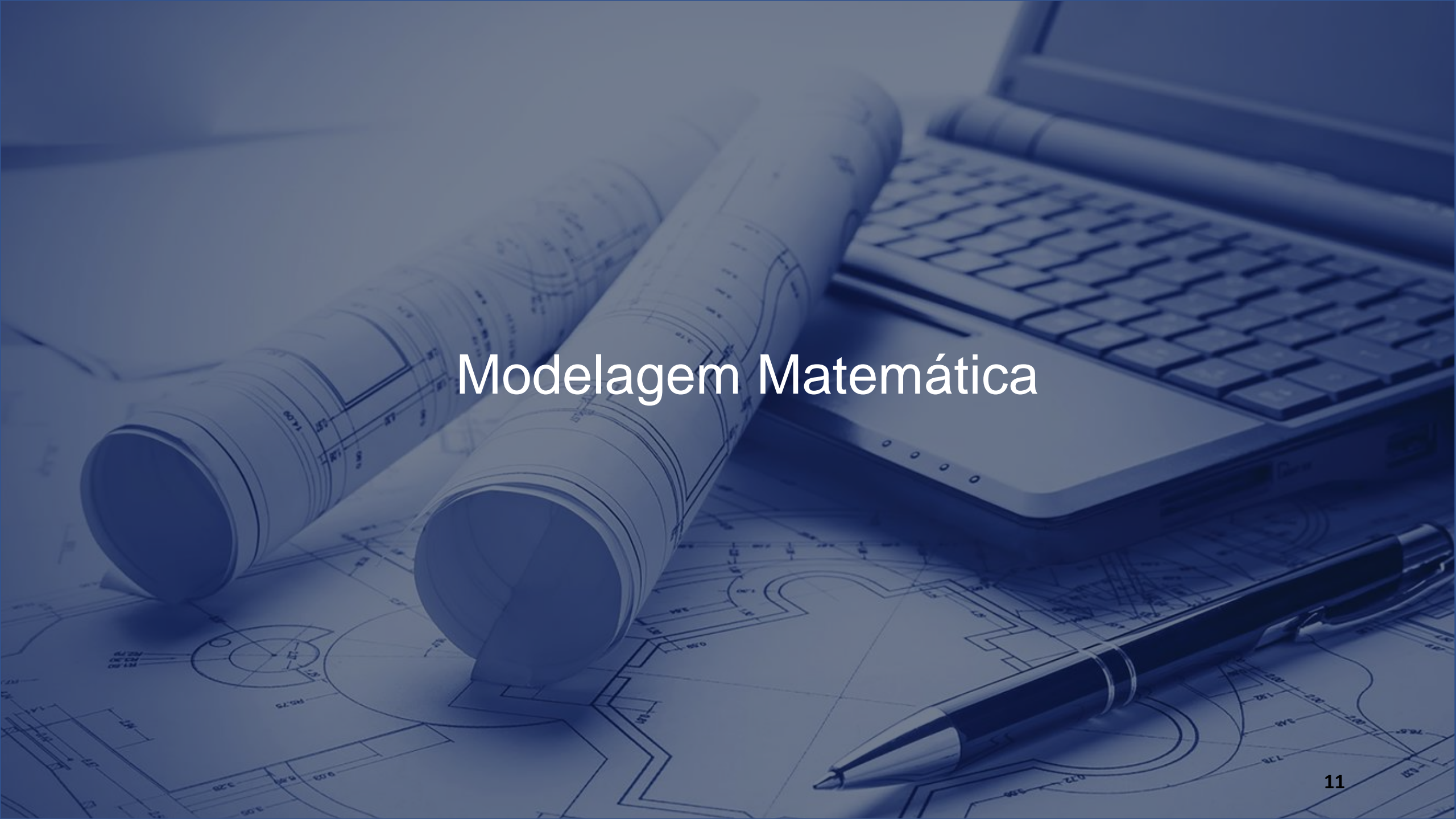
Obtém-se um modelo físico muito similar ao adotado na referência, porém com adição da análise do movimento transversal e da força de arrasto resistiva

Modelo Físico Proposto

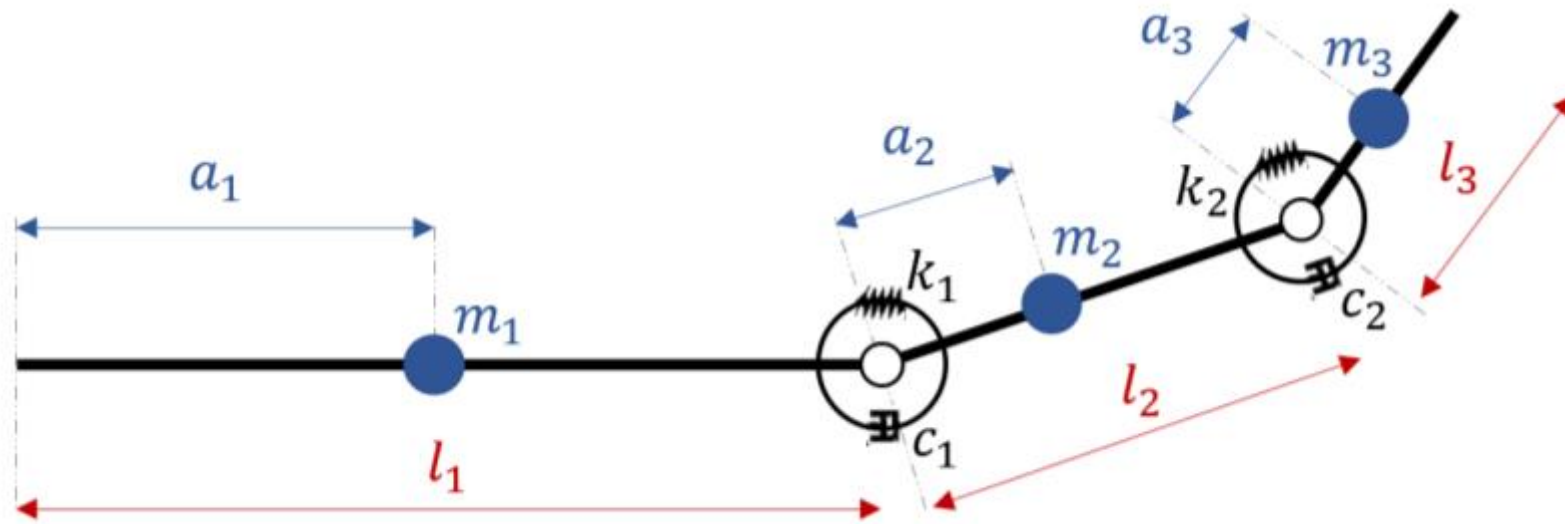


Variáveis de Interesse

- x_G : deslocamento transversal do centro de massa do peixe
- x'_G : velocidade transversal do centro de massa do peixe
- θ_2 : ângulo da segunda barra
- θ'_2 : velocidade angular da segunda barra
- θ_3 : ângulo da terceira barra
- θ'_3 : velocidade angular da terceira barra.

The background of the slide is a monochromatic blue-tinted photograph. It depicts a workspace with two large rolls of architectural blueprints lying on a desk. In the foreground, a black pen with a silver tip rests on a blueprint. To the right, a portion of a laptop keyboard is visible. The overall scene suggests a professional or academic environment related to design or engineering.

Modelagem Matemática



Fonte: autores

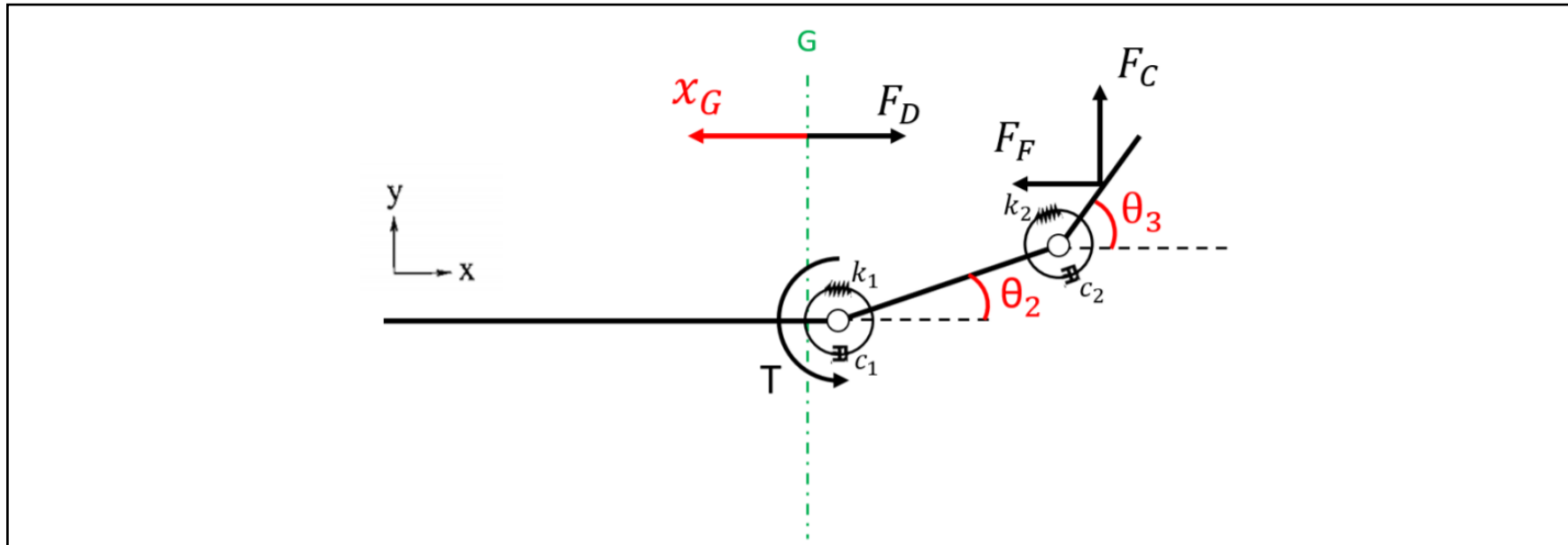


Metodologia

- Variáveis lineares
- Variáveis angulares
- Aplicação do método Lagrange-Euler

Segunda Lei de Newton

$$(m_1 + m_2 + m_3) \cdot \ddot{x}_G = F_F + F_D$$





Metodologia

- Variáveis lineares
- Variáveis angulares
- Aplicação do método Lagrange-Euler

Equações de Lagrange-Euler

$$\frac{d}{dt} \left(\frac{\partial L}{\partial \dot{q}_i} \right) - \frac{\partial L}{\partial q_i} + \frac{\partial N}{\partial \dot{q}_i} = Q_i^{ext}$$

- $L = T_c - V$: Lagrangeano;
- V : Energia Potencial Total;
- T_c : Energia Cinética Total;

- N : Energia de Amortecimento;
- Q_i^{ext} : Forças externas generalizadas;
- q_i e \dot{q}_i : Coordenadas generalizadas.



Metodologia

- Variáveis lineares
- Variáveis angulares
- Aplicação do método Lagrange-Euler

Centros de massa e velocidades de cada barra

$$G_2 = (l_1 + a_2 \cos \theta_2) \vec{i} + (a_2 \sin \theta_2) \vec{j}$$

$$\dot{G}_2 = (-a_2 \sin \theta_2 \cdot \dot{\theta}_2) \vec{i} + (a_2 \cos \theta_2 \cdot \dot{\theta}_2) \vec{j}$$

$$G_3 = (l_1 + l_2 \cos \theta_2 + a_3 \cos \theta_3) \vec{i} + (l_2 \sin \theta_2 + a_3 \sin \theta_3) \vec{j}$$

$$\dot{G}_3 = (-l_2 \sin \theta_2 \cdot \dot{\theta}_2 - a_3 \sin \theta_3 \cdot \dot{\theta}_3) \vec{i} + (l_2 \cos \theta_2 \cdot \dot{\theta}_2 + a_3 \cos \theta_3 \cdot \dot{\theta}_3) \vec{j}$$

Energias e forças:

$$T_c = \frac{m_2 a_2^2 \dot{\theta}_2^2}{2} + \frac{m_3 a_3^2 \dot{\theta}_3^2}{2} + \frac{m_2}{2} ((-a_2 \sin \theta_2 \cdot \dot{\theta}_2)^2 + (a_2 \cos \theta_2 \cdot \dot{\theta}_2)^2) + \frac{m_3}{2} ((-l_2 \sin \theta_2 \cdot \dot{\theta}_2 - a_3 \sin \theta_3 \cdot \dot{\theta}_3)^2 + (l_2 \cos \theta_2 \cdot \dot{\theta}_2 + a_3 \cos \theta_3 \cdot \dot{\theta}_3)^2)$$

$$V = \frac{k_1 \theta_2^2}{2} + \frac{k_2 (\theta_3 - \theta_2)^2}{2}$$

$$N = \frac{c_1 \dot{\theta}_2^2}{2} + \frac{c_2 (\dot{\theta}_3 - \dot{\theta}_2)^2}{2}$$

$$Q_{\theta_2}^{ext} = T - F_F \cdot l_2 \sin \theta_2 + F_C \cdot l_2 \cos \theta_2$$

$$Q_{\theta_3}^{ext} = -F_F \cdot a_3 \sin \theta_3 + F_C \cdot a_3 \cos \theta_3$$



Metodologia

- Variáveis lineares
- Variáveis angulares
- Aplicação do método Lagrange-Euler

Observações

- Resultados condizentes com os apresentados por Nakashima, Ohgishi e Ono (2003)
- Validação da modelagem desenvolvida por Lagrange-Euler

Substituindo nas Equações de Lagrange-Euler

$$\begin{aligned} & \begin{bmatrix} \frac{3m_2a_2^2}{2} + m_3l_2^2 & m_3a_3l_2\cos(\theta_3 - \theta_2) \\ m_3a_3l_2\cos(\theta_3 - \theta_2) & \frac{3m_2a_2^2}{2} \end{bmatrix} \begin{bmatrix} \ddot{\theta}_2 \\ \ddot{\theta}_3 \end{bmatrix} + \\ & + \begin{bmatrix} 0 & -m_3a_3l_2\sin(\theta_3 - \theta_2) \\ m_3a_3l_2\sin(\theta_3 - \theta_2) & 0 \end{bmatrix} \begin{bmatrix} \dot{\theta}_2^2 \\ \dot{\theta}_3^2 \end{bmatrix} + \\ & + \begin{bmatrix} c_1 + c_2 & -c_2 \\ -c_2 & c_2 \end{bmatrix} \begin{bmatrix} \dot{\theta}_2 \\ \dot{\theta}_3 \end{bmatrix} + \begin{bmatrix} k_1 + k_2 & -k_2 \\ -k_2 & k_2 \end{bmatrix} \begin{bmatrix} \theta_2 \\ \theta_3 \end{bmatrix} = \begin{bmatrix} T - F_F \cdot l_2\sin\theta_2 + F_C \cdot l_2\cos\theta_2 \\ -F_F \cdot a_3\sin\theta_3 + F_C \cdot a_3\cos\theta_3 \end{bmatrix} \end{aligned}$$



Força de Sustentação (F_L) – White (1962)

$$F_L = \frac{C_L \cdot \rho \cdot V^2 \cdot A_{ref}}{2}$$

- C_L : Coeficiente de sustentação
- ρ : Massa específica do fluido
- V : Velocidade do escoamento externo
- A_{ref} : Área de referência adotada, onde:

$$A_{ref} = 2 \cdot A_{elipse} = 2 \cdot \pi \cdot L \cdot C$$

- L : Comprimento da corda da nadadeira
- C : Meio comprimento da nadadeira

Adaptação



Nakashima, et al. (2003)

$$F_J = 2 \cdot \pi \cdot \rho \cdot L \cdot C \cdot U^2 \cdot \sin \alpha \cos \alpha$$

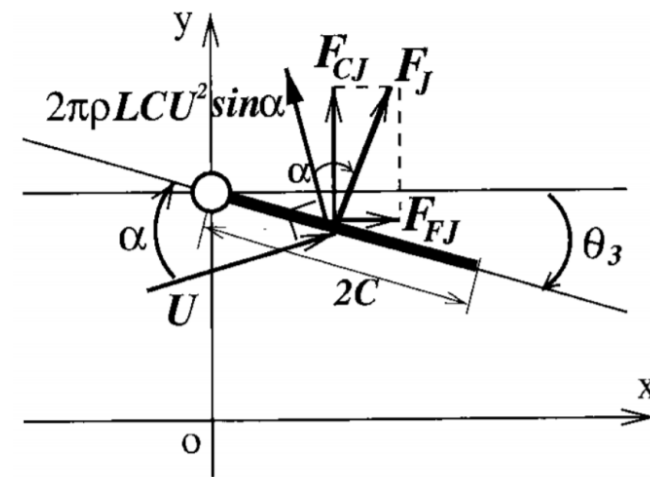
- α : Ângulo de ataque
- $C_L \approx \sin \alpha$

Velocidade Relativa do Escoamento (U)

$$U^2 = U_m^2 + u^2$$

- U_m : Velocidade do escoamento externo
- u : Velocidade na direção y da terceira barra, em que:

$$u = \dot{G}_3 \vec{j} = l_2 \cos \theta_2 \cdot \dot{\theta}_2 + a_3 \cos \theta_3 \cdot \dot{\theta}_3$$



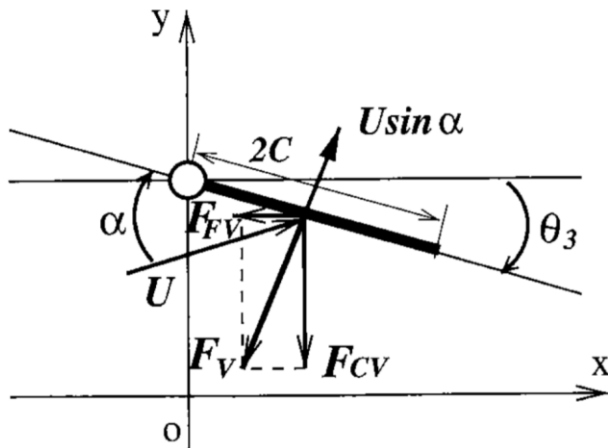
Fonte: Nakashima, et al. (2003)



Força de inércia (F_V)

$$F_V = \pi \rho L C^2 \dot{V}_P = \pi \rho L C^2 (\dot{U} \sin \alpha + \dot{\alpha} U \cos \alpha)$$

- V_P : Velocidade perpendicular à barra



Fonte: Nakashima, et al. (2003)

Força de Arrasto (F_L) – White (1962)

$$F_D = \frac{C_D \cdot \rho \cdot V^2 \cdot A_{total}}{2}$$

- C_D : Coeficiente de arrasto
- ρ : Massa específica do fluido
- $A_{total} = A_T$: Área total do peixe
- V : Velocidade do escoamento externo, onde:

$$V = U_m - \dot{x}_g$$

$$\Rightarrow F_D = \frac{C_D \cdot \rho \cdot A_T}{2} (U_m - \dot{x}_g)^2$$



$$\begin{bmatrix} M_{11} & M_{12} & M_{13} \\ 0 & M_{22} & M_{23} \\ 0 & M_{32} & M_{33} \end{bmatrix} \begin{bmatrix} \ddot{x}_G \\ \ddot{\theta}_2 \\ \ddot{\theta}_3 \end{bmatrix} = \begin{bmatrix} N_1 \\ N_2 \\ N_3 \end{bmatrix}$$

Onde:

$$M_{11} = m_1 + m_2 + m_3$$

$$M_{12} = -\pi\rho LC^2 l_2 \theta_3$$

$$M_{13} = -\pi\rho LC^2 a_3 \theta_3$$

$$M_{22} = \frac{3m_2 a_2^2}{2} + m_3 l_2^2 - F_1 l_2^2 \cdot \cos(\theta_2 + \theta_3) \cdot \cos\theta_2$$

$$M_{23} = m_3 a_3 l_2 \cdot \cos(\theta_3 - \theta_2) - F_1 l_2 a_3 \cdot \cos(\theta_2 + \theta_3) \cdot \cos\theta_3$$

$$M_{32} = m_3 a_3 l_2 \cdot \cos(\theta_3 - \theta_2) - F_1 l_2 a_3 \cdot (\cos^2\theta_3 - \sin^2\theta_3) \cdot \cos\theta_2$$

$$M_{33} = \frac{3m_3 a_3^2}{2} - F_1 a_3^2 \cdot (\cos^2\theta_3 - \sin^2\theta_3) \cdot \sin\theta_2$$

$$N_1 = \frac{C_D \rho A_T}{2} (U_m - \dot{x}_G)^2$$

$$N_2 = m_3 a_3 l_2 \cdot \sin(\theta_3 - \theta_2) \cdot \dot{\theta}_3^2 + F_2 l_2 \cdot \cos(\theta_2 + \theta_3) + \tau_1 - \tau_2$$

$$N_3 = -m_3 a_3 l_2 \cdot \sin(\theta_3 - \theta_2) \cdot \dot{\theta}_2^2 + F_2 a_3 (\cos^2\theta_3 - \sin^2\theta_3) + \tau_2$$

$$F_1 = \frac{\pi\rho LC^2}{U^2} (u^2 \cos\theta_3 - U_m^2 \cos\theta_3 + 2uU_m \sin\theta_3)$$

$$F_1 = -2\pi\rho LC (u \cdot \cos\theta_3 - U_m \sin\theta_3) \cdot (U_m \cos\theta_3 - u \cdot \sin\theta_3) - \pi\rho LC^2 [(u^2 \cos\theta_3 - U_m^2 \cos\theta_3 + 2uU_m \sin\theta_3) \cdot (l_2 \sin\theta_2 \dot{\theta}_2^2 + a_3 \cos\theta_2 \dot{\theta}_2^2) \cdot \frac{1}{U^2} - \dot{\theta}_3 (U_m \cos\theta_3 - u \sin\theta_3)]$$

$$\tau_1 = -k_1 \theta_2 - c_1 \dot{\theta}_2 + T$$

$$\tau_2 = -k_2 (\theta_3 - \theta_2) - c_2 (\dot{\theta}_3 - \dot{\theta}_2)$$



Expansão de Taylor de primeira ordem

$$\tilde{f} = f_0 + \left. \frac{\partial f}{\partial x_i} \right|_{f^{op}} \cdot (x_i - x_i^{op})$$

Ponto de operação

$$\begin{bmatrix} x_{G_{op}} \\ \dot{x}_{G_{op}} \\ \theta_{2_{op}} \\ \dot{\theta}_{2_{op}} \\ \theta_{3_{op}} \\ \dot{\theta}_{3_{op}} \end{bmatrix} = \begin{bmatrix} 0 \\ 0 \\ 0 \\ 0 \\ 0 \\ 0 \end{bmatrix}$$

- Baixos deslocamentos e velocidades lineares
- Oscilação da cauda em torno da posição de repouso

Equações Linearizadas:

$$\begin{bmatrix} M'_{11} & 0 & 0 \\ 0 & M'_{22} & M'_{23} \\ 0 & M'_{32} & M'_{33} \end{bmatrix} \begin{bmatrix} \ddot{x}_G \\ \ddot{\theta}_2 \\ \ddot{\theta}_3 \end{bmatrix} + \begin{bmatrix} C'_{11} & 0 & 0 \\ 0 & C'_{22} & C'_{23} \\ 0 & C'_{32} & C'_{33} \end{bmatrix} \begin{bmatrix} \dot{x}_G \\ \dot{\theta}_2 \\ \dot{\theta}_3 \end{bmatrix} + \begin{bmatrix} 0 & 0 & 0 \\ 0 & K'_{22} & K'_{23} \\ 0 & K'_{32} & K'_{33} \end{bmatrix} \begin{bmatrix} x_G \\ \theta_1 \\ \theta_2 \end{bmatrix} = \begin{bmatrix} B_{11} \cdot \theta_3 & B_{12} \\ B_{21} & 0 \\ B_{31} & 0 \end{bmatrix} \begin{bmatrix} T \\ F_{D_{cte}} \end{bmatrix}$$



Onde:

$$M'_{11} = m_1 + m_2 + m_3$$

$$M'_{22} = \frac{3m_2a_2^2}{2} + m_3l_3^2 + \pi\rho LC^2l_2^2$$

$$M'_{23} = m_3a_3l_2 + \pi\rho LC^2l_2a_3$$

$$M'_{32} = m_3a_3l_2 + \pi\rho LC^2l_2a_3$$

$$M'_{33} = \frac{3m_3a_3^2}{2} + \pi\rho LC^2a_3^2$$

$$K'_{22} = k_1 + k_2$$

$$K'_{23} = -k_2 + 2\pi\rho LC U_m^2 l_2$$

$$K'_{32} = -k_2$$

$$K'_{33} = k_2 + 2\pi\rho LC U_m^2 a_3$$

$$C'_{11} = -C_D \rho A_T U_m$$

$$C'_{22} = c_1 + c_2 + 2\pi\rho LC U_m l_2^2$$

$$C'_{23} = -c_2 + \pi\rho LC U_m (2a_3 - C \cdot U_m) l_2$$

$$C'_{32} = -c_2 + 2\pi\rho LC U_m l_2 a_3$$

$$C'_{33} = c_2 + \pi\rho LC U_m (2a_3 - C \cdot U_m) a_3$$

$$F_{D_{cte}} = \frac{C_D \rho A_T}{2} U_m^2$$

$$B'_{11} = \frac{\pi\rho LC^2 l_2}{M'_{22}} \cdot \left(1 - \frac{M'_{23} M'_{32}}{M'_{22} M'_{33} - M'_{23} M'_{32}}\right) + \pi\rho LC^2 a_3 \left(\frac{M'_{32} M'_{32}}{M'_{22} M'_{33} - M'_{23} M'_{32}}\right)$$

$$B'_{12} = 1$$

$$B'_{21} = 1$$

$$B'_{31} = 1$$

- Independem das variáveis auxiliares u e α

Definição da Força de Propulsão (F_{prop})



- Mesmo após linearização, ainda aparece uma multiplicação de entrada (T) por variável (θ_3)

$$\begin{bmatrix} B_{11} \cdot \theta_3 & B_{12} \\ B_{21} & 0 \\ B_{31} & 0 \end{bmatrix} \begin{bmatrix} T \\ F_{D_{cte}} \end{bmatrix}$$

Solução



Força de Propulsão (F_{prop})

- Criação de uma nova entrada auxiliar
- Significado físico

$$F_{prop} = T \cdot \theta_3$$

Entradas do sistema

$$[u_F] = \begin{bmatrix} F_{prop} \\ T \\ F_{D_{cte}} \end{bmatrix}$$

The background image is a monochromatic blue-tinted photograph. It depicts a workspace with architectural blueprints spread out on a desk. Two rolled-up blueprints are in the foreground, partially unrolled. A laptop is visible in the upper right corner, and a black pen lies on the blueprints in the lower right. The overall scene suggests a professional or academic environment related to engineering or design.

Espaço de Estados



Dinâmica do movimento

$$\dot{X} = A \cdot X + B \cdot u_F$$

$$y = C \cdot X + D \cdot u_F$$

Vetor de estados, de derivadas e de variáveis observadas

$$X = \begin{bmatrix} \dot{x}_G \\ x_G \\ \dot{\theta}_2 \\ \theta_2 \\ \dot{\theta}_3 \\ \theta_3 \end{bmatrix} \quad \dot{X} = \begin{bmatrix} \ddot{x}_G \\ \dot{x}_G \\ \ddot{\theta}_2 \\ \dot{\theta}_2 \\ \ddot{\theta}_3 \\ \dot{\theta}_3 \end{bmatrix} \quad y = \begin{bmatrix} \dot{x}_G \\ x_G \\ \dot{\theta}_2 \\ \theta_2 \\ \dot{\theta}_3 \\ \theta_3 \end{bmatrix}$$

Estruturação com vetor de estados

$$\begin{bmatrix} M'_{11} & 0 & 0 & 0 & 0 & 0 \\ 0 & 1 & 0 & 0 & 0 & 0 \\ 0 & 0 & M'_{22} & 0 & M'_{23} & 0 \\ 0 & 0 & 0 & 1 & 0 & 0 \\ 0 & 0 & M'_{32} & 0 & M'_{33} & 0 \\ 0 & 0 & 0 & 0 & 0 & 1 \end{bmatrix} \begin{bmatrix} \ddot{x}_G \\ \dot{x}_G \\ \ddot{\theta}_2 \\ \dot{\theta}_2 \\ \ddot{\theta}_3 \\ \dot{\theta}_3 \end{bmatrix} = \begin{bmatrix} C'_{11} & 0 & 0 & 0 & 0 & 0 \\ 1 & 0 & 0 & 0 & 0 & 0 \\ 0 & 0 & -C'_{22} & -K'_{22} & -C'_{23} & -K'_{23} \\ 0 & 0 & 1 & 0 & 0 & 0 \\ 0 & 0 & -C'_{32} & -K'_{32} & -C'_{33} & -K'_{33} \\ 0 & 0 & 0 & 0 & 1 & 0 \end{bmatrix} \begin{bmatrix} \dot{x}_G \\ x_G \\ \dot{\theta}_2 \\ \theta_2 \\ \dot{\theta}_3 \\ \theta_3 \end{bmatrix} + \begin{bmatrix} B'_{11} & 0 & B'_{12} \\ 0 & 0 & 0 \\ 0 & B'_{21} & 0 \\ 0 & 0 & 0 \\ 0 & B'_{31} & 0 \\ 0 & 0 & 0 \end{bmatrix} \begin{bmatrix} F_{prop} \\ T \\ F_{Dcte} \end{bmatrix}$$



- Multiplicam-se ambos os lados da equação anterior pela inversa da matriz de massas

Resultado:

$$\begin{bmatrix} \ddot{x}_G \\ \dot{x}_G \\ \ddot{\theta}_2 \\ \dot{\theta}_2 \\ \ddot{\theta}_3 \\ \dot{\theta}_3 \end{bmatrix} = \underbrace{\begin{bmatrix} C''_{11} & 0 & 0 & 0 & 0 & 0 \\ 1 & 0 & 0 & 0 & 0 & 0 \\ 0 & 0 & C''_{22} & K''_{22} & C''_{23} & K''_{23} \\ 0 & 0 & 1 & 0 & 0 & 0 \\ 0 & 0 & C''_{32} & K''_{32} & C''_{33} & K''_{33} \\ 0 & 0 & 0 & 0 & 1 & 0 \end{bmatrix}}_{\mathbf{A}} \begin{bmatrix} \dot{x}_G \\ x_G \\ \dot{\theta}_2 \\ \theta_2 \\ \dot{\theta}_3 \\ \theta_3 \end{bmatrix} + \underbrace{\begin{bmatrix} B''_{11} & 0 & B''_{12} \\ 0 & 0 & 0 \\ 0 & B''_{21} & 0 \\ 0 & 0 & 0 \\ 0 & B''_{31} & 0 \\ 0 & 0 & 0 \end{bmatrix}}_{\mathbf{B}} \begin{bmatrix} F_{prop} \\ T \\ F_{D_{cte}} \end{bmatrix}$$



Onde:

$$C''_{11} = \frac{C'_{11}}{M'_{11}}$$

$$C''_{22} = \frac{-M'_{33}C'_{22} + M'_{23}C'_{32}}{M'_{33}M'_{22} - M'_{32}M'_{23}}$$

$$C''_{23} = \frac{-M'_{33}C'_{23} + M'_{23}C'_{33}}{M'_{33}M'_{22} - M'_{32}M'_{23}}$$

$$C''_{32} = \frac{M'_{32}C'_{22} - M'_{22}C'_{32}}{M'_{33}M'_{22} - M'_{32}M'_{23}}$$

$$C''_{33} = \frac{M'_{32}C'_{23} - M'_{22}C'_{33}}{M'_{33}M'_{22} - M'_{32}M'_{23}}$$

$$K''_{22} = \frac{-M'_{33}K'_{22} + M'_{23}K'_{32}}{M'_{33}M'_{22} - M'_{32}M'_{23}}$$

$$K''_{23} = \frac{-M'_{33}K'_{23} + M'_{23}K'_{33}}{M'_{33}M'_{22} - M'_{32}M'_{23}}$$

$$K''_{32} = \frac{M'_{32}K'_{22} - M'_{22}K'_{32}}{M'_{33}M'_{22} - M'_{32}M'_{23}}$$

$$K''_{33} = \frac{M'_{32}K'_{23} - M'_{22}K'_{33}}{M'_{33}M'_{22} - M'_{32}M'_{23}}$$

$$B''_{11} = \frac{B'_{11}}{M'_{11}}$$

$$B''_{12} = \frac{B'_{12}}{M'_{11}}$$

$$B''_{21} = 1 - \frac{M'_{23}M'_{32}}{M'_{22}M'_{33} - M'_{23}M'_{32}}$$

$$B''_{31} = \frac{M'_{32}}{M'_{22}}$$

- Definição das matrizes C e D de interesse para o projeto

$$C = I_{6 \times 6}$$

$$D = 0_{6 \times 3}$$

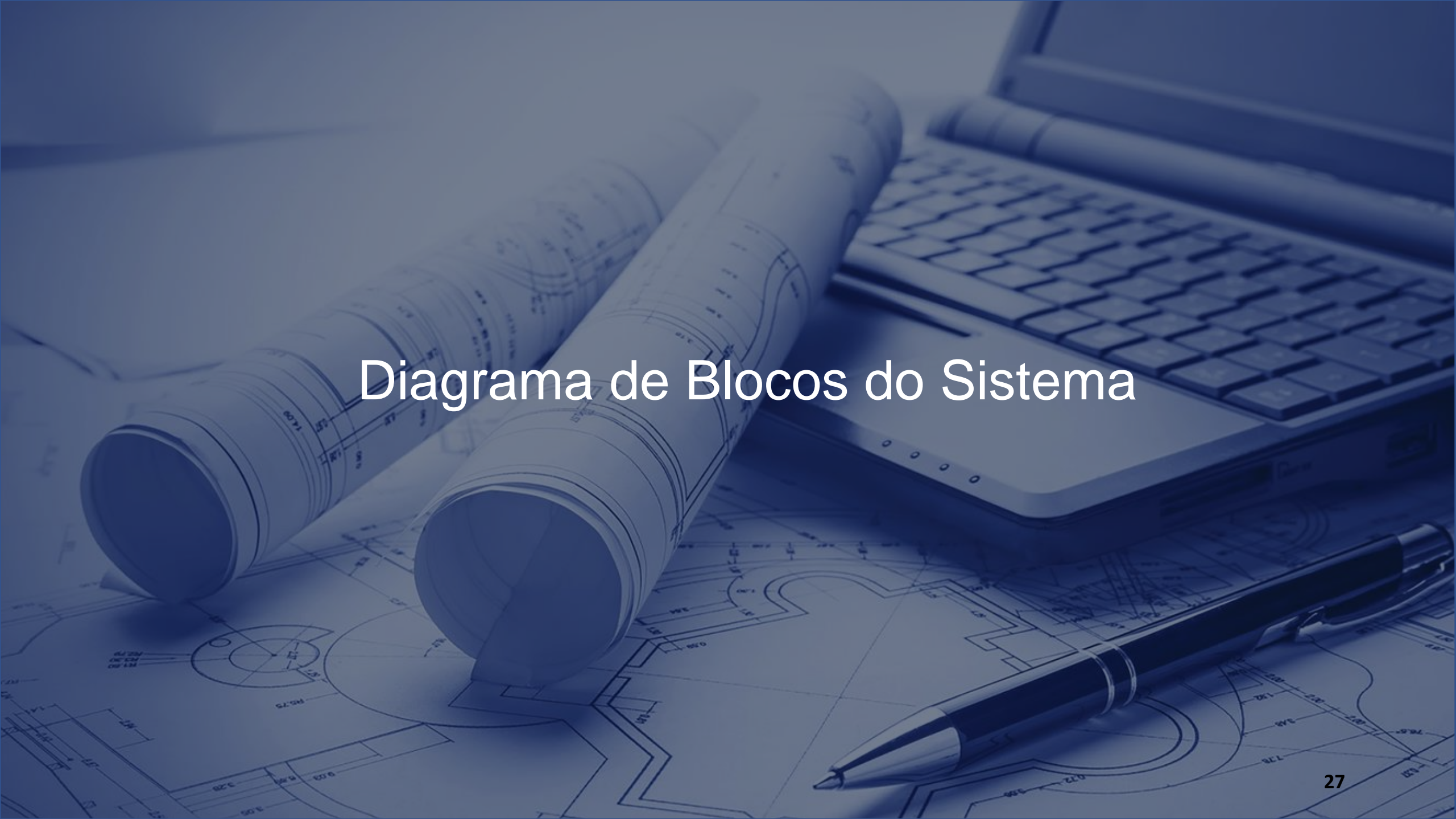
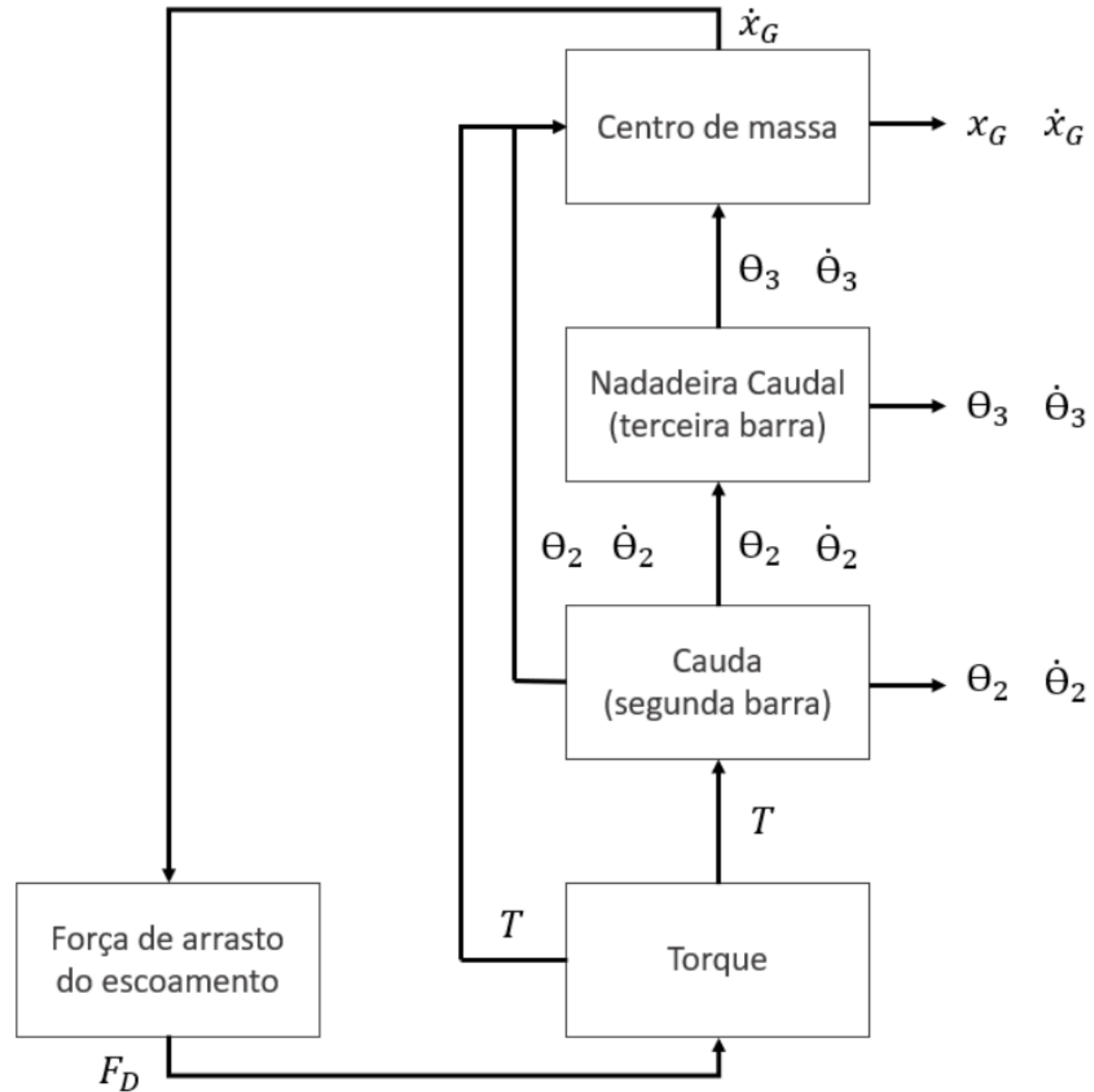
The background of the slide features a blue-tinted photograph of a workspace. In the foreground, two large rolls of architectural blueprints are unrolled, showing detailed technical drawings with lines and text. To the right, a laptop is partially visible, its keyboard and trackpad area discernible. In the lower right corner, a black pen with a silver tip lies on the blueprints. The overall scene is dimly lit, creating a professional and technical atmosphere.

Diagrama de Blocos do Sistema

Diagrama de Blocos do Sistema



The background of the slide features a monochromatic blue-tinted image of architectural blueprints. Two rolled-up blueprints are positioned diagonally across the upper left and center. In the lower right, a laptop is partially visible, and a black pen with a silver tip lies on the blueprints. The overall scene suggests a professional or technical environment.

Valores dos Parâmetros



	Definição	Unidade	Magnitude
m_1	Massa da primeira barra	kg	0,40900
m_2	Massa da segunda barra	kg	0,10400
m_3	Massa da terceira barra	kg	0,00900
a_1	Distância do baricentro da primeira barra	m	0,09375
a_2	Distância do baricentro da segunda barra	m	0,02550
a_3	Distância do baricentro da terceira barra	m	0,01500
l_1	Comprimento da primeira barra	m	0,01875
l_2	Comprimento da segunda barra	m	0,06250
l_3	Comprimento da terceira barra	m	0,03000
c_1	Coefficiente de amortecimento da primeira união	Nms/rad	0,00030
c_2	Coefficiente de amortecimento da segunda união	Nms/rad	0,00010
k_1	Coefficiente elástico da primeira união	Nm/rad	0,04910
k_2	Coefficiente elástico da segunda união	Nm/rad	0,00354
ρ	Massa específica da água	kg/m^3	998
L	Comprimento de corda da nadadeira caudal	m	0,07500
C	Semi-comprimento da nadadeira caudal	m	0,01500
A_T	Área total do peixe	m^2	$0,07069 \cdot 10^{-2}$
C_D	Coefficiente de arrasto hidrodinâmico	-	0,50000
U_m	Velocidade aplicada ao escoamento externo	m/s	0,30000

- Valores utilizados no trabalho de Nakashima, et al. (2003)
- Pesquisa de validação: comparação com valores empregados pelos demais autores, como Duraisamy, et al. (2019), que ainda apresenta valores típicos para atuadores e peixes robóticos

The background of the slide features a monochromatic blue-tinted image of a workspace. In the foreground, there are two rolled-up architectural blueprints with technical drawings and dimensions. To the right, a laptop is partially visible, showing its keyboard. In the bottom right corner, a black pen with a silver tip lies on a flat blueprint. The overall scene suggests a professional or academic environment related to engineering or design.

Descrição no Domínio da Frequência



Funções de Transferência

Aplicando-se Laplace às equações do movimento:

$$sX(s) - X(0) = sX(s) = A \cdot X(s) + B \cdot u_F(s)$$

$$y(s) = C \cdot X(s) + D \cdot u_F(s)$$

$$G(s) = \frac{y(s)}{u_F(s)} = C \cdot (sI - A)^{-1} \cdot B + D$$

Com 3 entradas e 6 saídas, espera-se um sistema de 18 FT's

$$G_{\dot{x}_G, F_{prop}} = \frac{15,01s^5 + 0,0654s^4 + 2,348s^3 + 1,1603 \cdot 10^{-3}s^2 + 12,248 \cdot 10^{-4}s}{s^6 + 0,11s^5 + 0,16s^4 + 0,017s^3 + 0,82 \cdot 10^{-4}s^2 + 0,86 \cdot 10^{-5}s} \quad (8.4)$$

$$G_{x_G, F_{prop}} = \frac{15,01s^4 + 0,0654s^3 + 2,348s^2 + 1,1603 \cdot 10^{-3}s + 12,248 \cdot 10^{-4}}{s^6 + 0,11s^5 + 0,16s^4 + 0,017s^3 + 0,82 \cdot 10^{-4}s^2 + 0,86 \cdot 10^{-5}s} \quad (8.5)$$

$$G_{\dot{\theta}_2, T} = \frac{-0,2723s^5 - 0,029s^4 + 0,0019s^3 + 2,05 \cdot 10^{-4}s^2}{s^6 + 0,11s^5 + 0,16s^4 + 0,017s^3 + 0,82 \cdot 10^{-4}s^2 + 0,86 \cdot 10^{-5}s} \quad (8.6)$$

$$G_{\theta_2, T} = \frac{-0,2723s^4 - 0,029s^3 + 0,0019s^2 + 2,05 \cdot 10^{-4}s}{s^6 + 0,11s^5 + 0,16s^4 + 0,017s^3 + 0,82 \cdot 10^{-4}s^2 + 0,86 \cdot 10^{-5}s} \quad (8.7)$$

$$G_{\dot{\theta}_3, T} = \frac{0,1539s^5 + 0,0163s^4 + 0,0197s^3 + 2,09 \cdot 10^{-3}s^2}{s^6 + 0,11s^5 + 0,16s^4 + 0,017s^3 + 0,82 \cdot 10^{-4}s^2 + 0,86 \cdot 10^{-5}s} \quad (8.8)$$

$$G_{\theta_3, T} = \frac{0,1539s^4 + 0,0163s^3 + 0,0197s^2 + 2,09 \cdot 10^{-3}s}{s^6 + 0,11s^5 + 0,16s^4 + 0,017s^3 + 0,82 \cdot 10^{-4}s^2 + 0,86 \cdot 10^{-5}s} \quad (8.9)$$

$$G_{\dot{x}_G, F_{Dcte}} = \frac{s^5 + 0,0044s^4 + 0,1564s^3 + 7,73 \cdot 10^{-5}s^2 + 0,8156 \cdot 10^{-4}s}{s^6 + 0,11s^5 + 0,16s^4 + 0,017s^3 + 0,82 \cdot 10^{-4}s^2 + 0,86 \cdot 10^{-5}s} \quad (8.10)$$

$$G_{x_G, F_{Dcte}} = \frac{s^4 + 0,0044s^3 + 0,1564s^2 + 7,73 \cdot 10^{-5}s + 0,8156 \cdot 10^{-4}}{s^6 + 0,11s^5 + 0,16s^4 + 0,017s^3 + 0,82 \cdot 10^{-4}s^2 + 0,86 \cdot 10^{-5}s} \quad (8.11)$$

Fonte: Autoral



Polos do Sistema

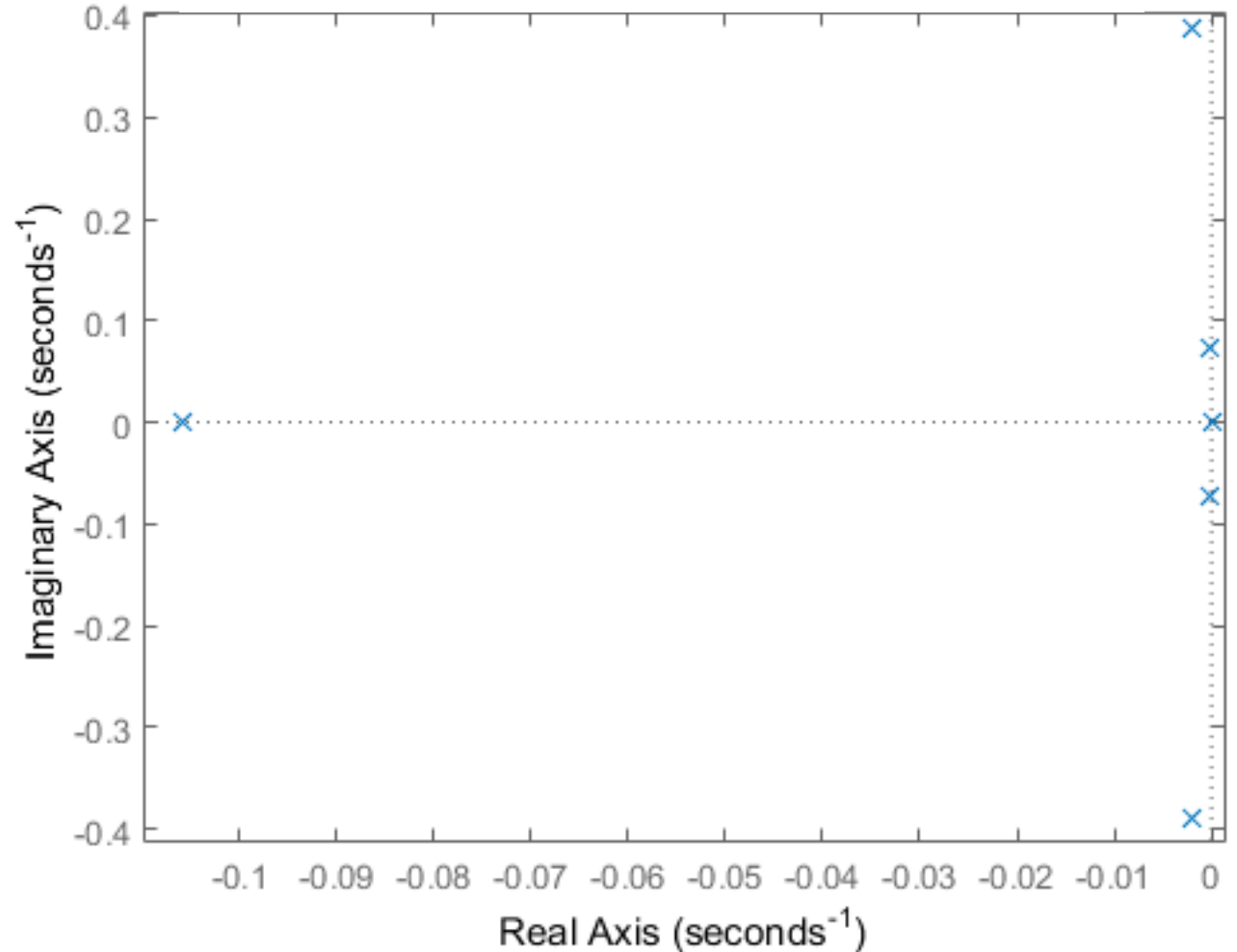
Determinando-se o polinômio característico a partir de sua definição

$$p_c(s) = | sI - A | = \det[sI - A]$$

Sistema de sexta ordem, tem-se seis polos:

$$\begin{bmatrix} p_1 \\ p_2 \\ p_3 \\ p_4 \\ p_5 \\ p_6 \end{bmatrix} = \begin{bmatrix} -0,0020 + 0,3886i \\ -0,0020 - 0,3886i \\ -0,0002 + 0,0735i \\ -0,0002 - 0,0735i \\ -0,1058 + 0,0000i \\ 0 \end{bmatrix}$$

$$p_c(s) = s^6 + 0,11s^5 + 0,16s^4 + 0,017s^3 + 0,82 \cdot 10^{-4}s^2 + 0,86 \cdot 10^{-5}s$$



Fonte: Autoral



Zeros do Sistema

Extraíndo-se as raízes dos numeradores das FT's, tem-se os zeros:

Tabela 8.1: Zeros do sistema

	z_1	z_2	z_3	z_4	z_5
$G_{\dot{x}_G, F_{prop}}$	0	$-0,0020 + 0,3886i$	$-0,0020 - 0,3886i$	$-0,0002 + 0,0735i$	$-0,0002 - 0,0735i$
$G_{x_G, F_{prop}}$	-	$-0,0020 + 0,3886i$	$-0,0020 - 0,3886i$	$-0,0002 + 0,0735i$	$-0,0002 - 0,0735i$
$G_{\dot{\theta}_2, T}$	0	0	-0,0843	0,0844	-1,058
$G_{\theta_2, T}$	-	0	-0,0843	0,0844	-1,058
$G_{\dot{\theta}_3, T}$	0	0	$-0,0025 + 0,3582i$	$-0,0025 - 0,3582i$	-1,058
$G_{\theta_3, T}$	-	0	$-0,0025 + 0,3582i$	$-0,0025 - 0,3582i$	-1,058
$G_{\dot{x}_G, F_{D_{cte}}}$	0	$-0,0020 + 0,3886i$	$-0,0020 - 0,3886i$	$-0,0002 + 0,0735i$	$-0,0002 - 0,0735i$
$G_{x_G, F_{D_{cte}}}$	-	$-0,0020 + 0,3886i$	$-0,0020 - 0,3886i$	$-0,0002 + 0,0735i$	$-0,0002 - 0,0735i$

Fonte: Autoral

The background of the slide features a monochromatic blue-tinted image of architectural blueprints. Two rolled-up blueprints are positioned diagonally across the upper left and center. In the lower right, a laptop is partially visible, showing its keyboard. A black pen with a silver tip lies horizontally across the bottom right of the frame. The overall scene suggests a professional engineering or architectural workspace.

Análise de Estabilidade



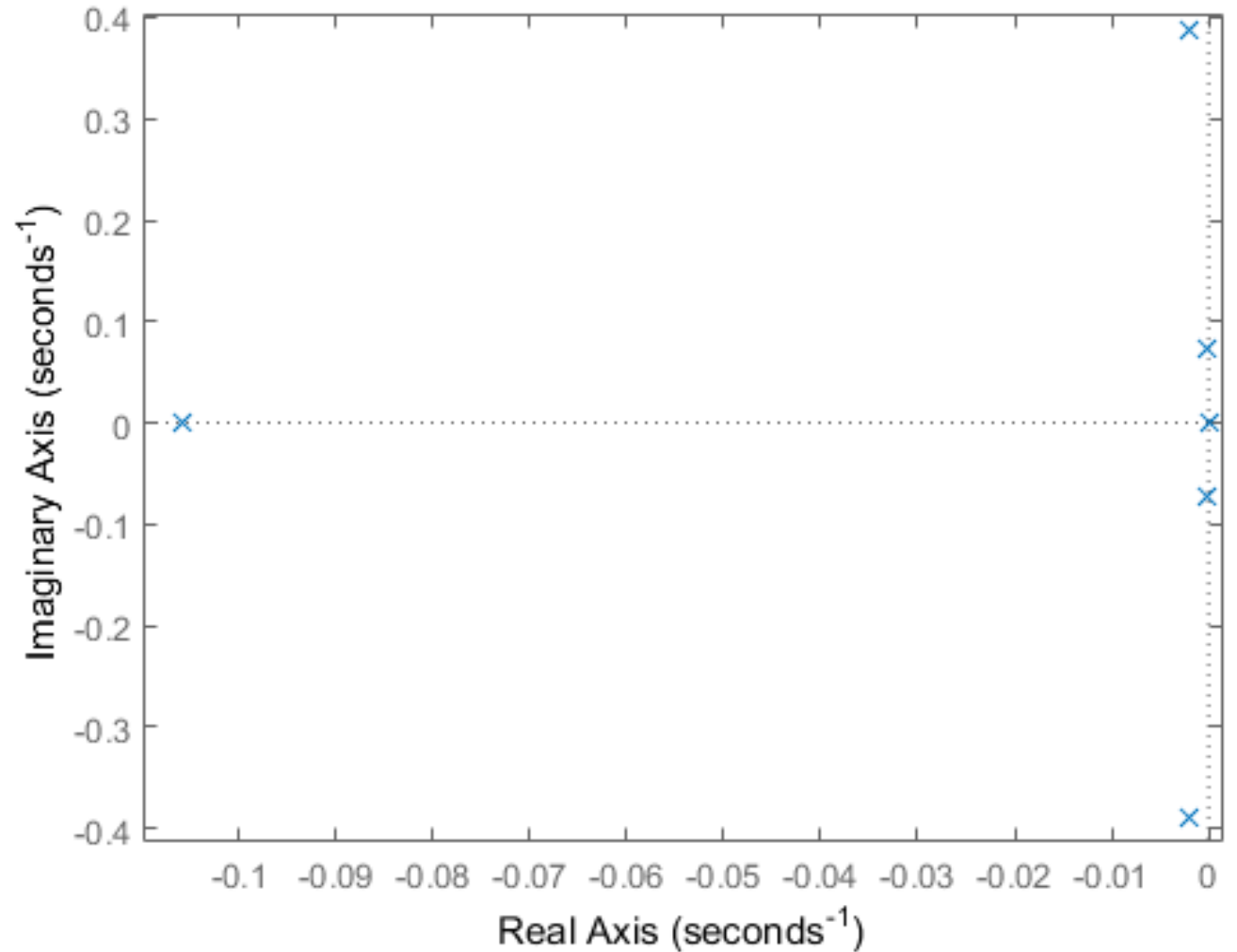
5 polos nos 2º e 3º quadrantes do plano complexo e polo na origem



Sistema marginalmente estável



Variável X_g não necessariamente tende ao equilíbrio após perturbação



Fonte: Autoral



Construção da tabela de Routh-Hurwitz a partir do polinômio característico



Primeira coluna inteiramente positiva



Sistema não é instável

Tabela 9.1: Análise de estabilidade por Routh-Hurwitz.

s^6	1	0,157	0,001
s^5	0,110	0,017	$0,863 \cdot 10^{-4}$
s^4	0,006	$0,406 \cdot 10^{-4}$	
s^3	0,016	$0,863 \cdot 10^{-4}$	
s^2	$0,811 \cdot 10^{-5}$		
s^1	$0,863 \cdot 10^{-4}$		
s^0	0,010		

Fonte: Autoral

The background features a blue-tinted image of architectural blueprints spread out on a desk. A laptop is partially visible in the upper right corner, and a black pen lies diagonally across the bottom right. Two rolled-up blueprints are positioned in the center-left, with their ends facing the viewer. The overall scene is professional and technical.

Resposta Dinâmica no Domínio da Frequência



Frequências naturais, fatores de amortecimento e constantes de tempo

Tabela 10.1: Características do Sistema no Domínio da Frequência

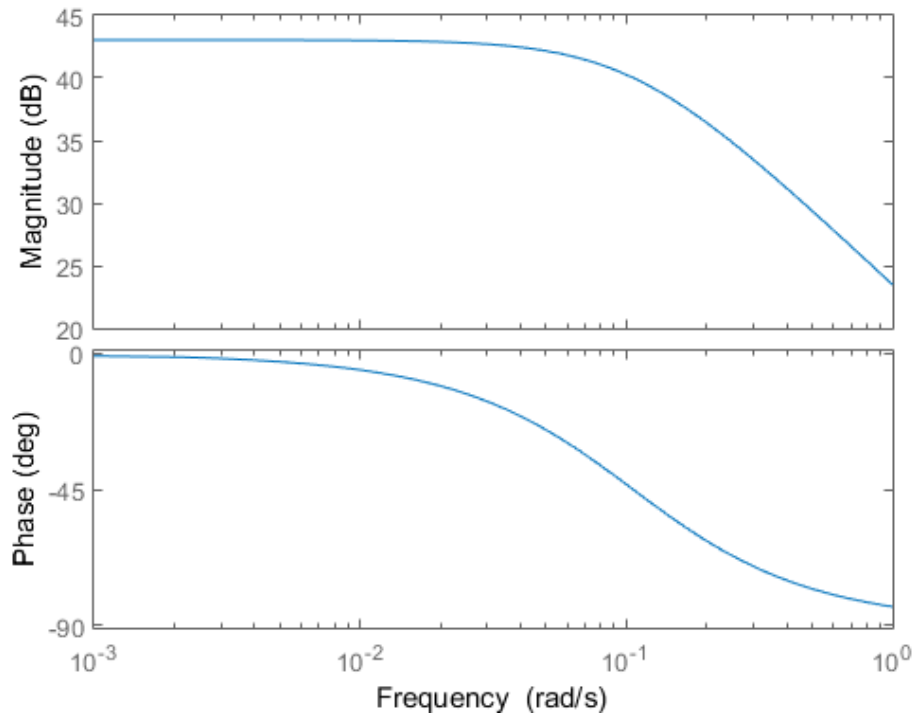
Polo	ζ	ω_n (rad/s)	τ (s)
0,0	-	0,0	∞
$-0,0002 + 0,0735i$	$2.51 \cdot 10^{-3}$	$7,12 \cdot 10^{-4}$	$5.43 \cdot 10^3$
$-0,0002 - 0,0735i$	$2.51 \cdot 10^{-3}$	$7,12 \cdot 10^{-4}$	$5.43 \cdot 10^3$
$-0,0020 + 0,3886i$	$5.16 \cdot 10^{-3}$	$3.89 \cdot 10^{-1}$	$4.99 \cdot 10^2$
$-0,0020 - 0,3886i$	$5.16 \cdot 10^{-3}$	$3.89 \cdot 10^{-1}$	$4.99 \cdot 10^2$
-0,1058	1,00	$1,06 \cdot 10^{-1}$	$9.45 \cdot 10^2$

Para o sistema, descrito por três equações do movimento, obtém-se três frequências naturais, três fatores de amortecimento e três constantes de tempo distintas

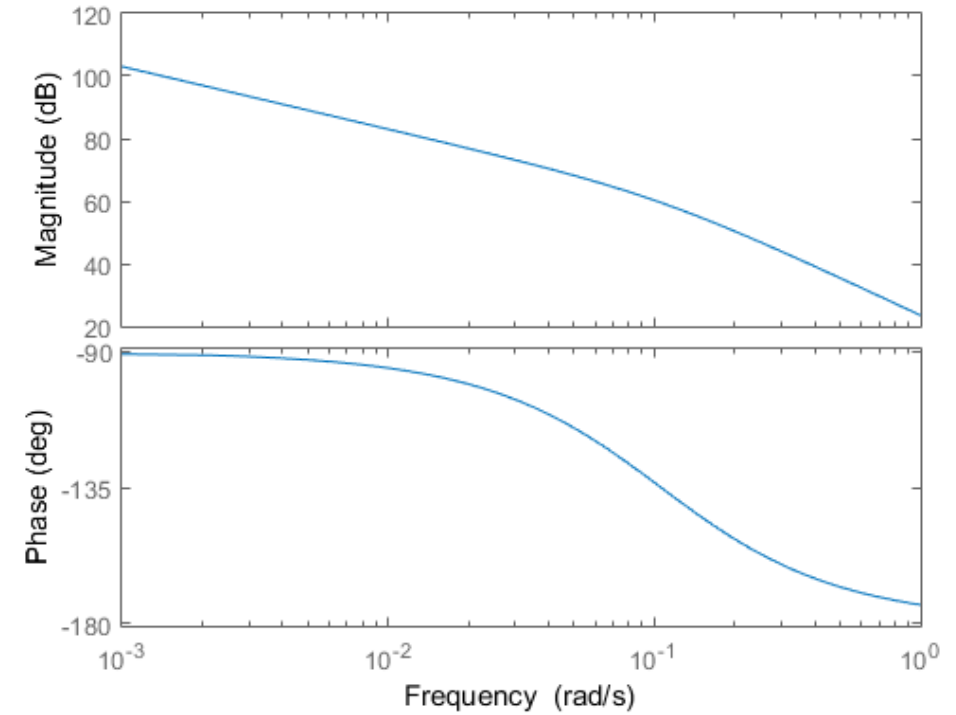


Diagramas de Bode - Respostas Translacionais

Saída x_G e entrada da força de propulsão F_{prop}



Saída x_G e entrada da força de propulsão F_{prop}

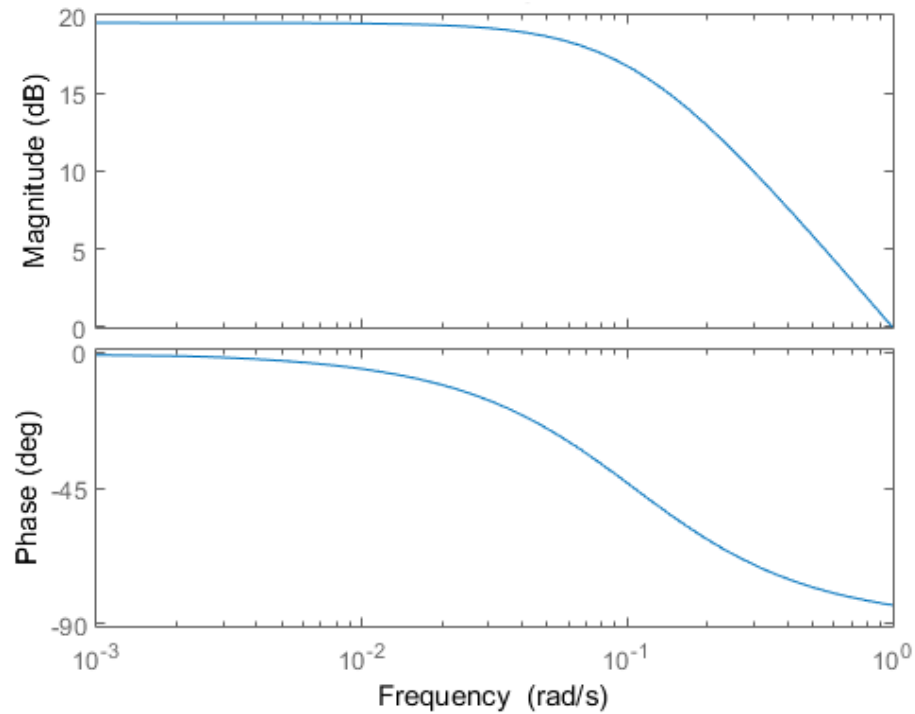


Fonte: Autoria Própria

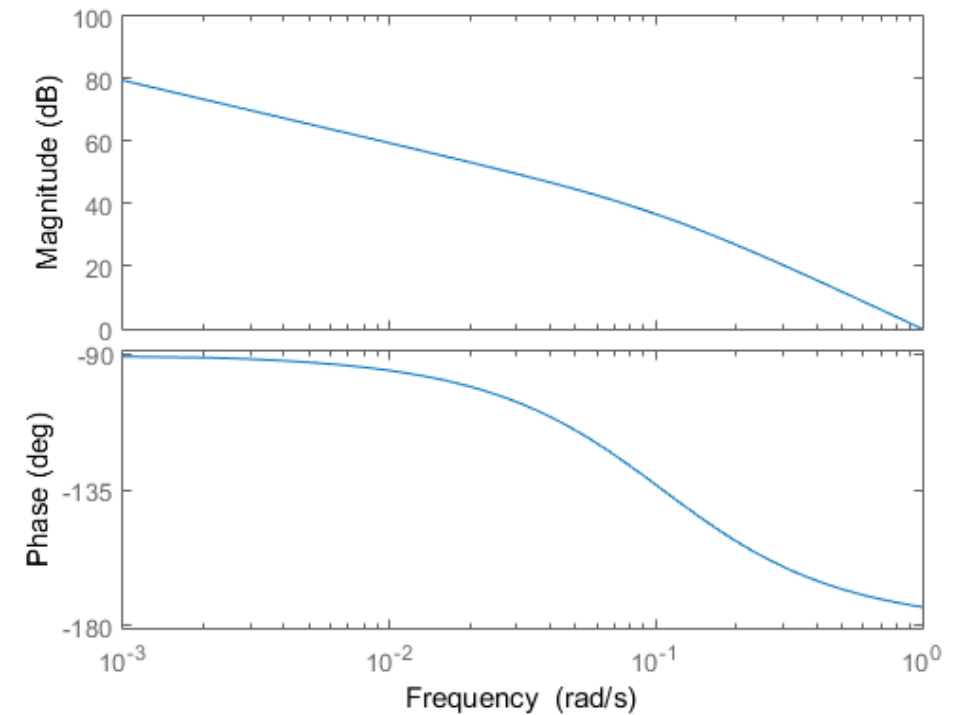


Diagramas de Bode - Respostas Translacionais

Saída x_G e entrada da força de arrasto $F_{D_{efe}}$



Saída x_G e entrada da força de arrasto $F_{D_{efe}}$



Fonte: Autoria Própria



Diagramas de Bode - Respostas Translacionais

Frequência de corte se mantém próxima a $0,1 \text{ rad/s}$. A partir dessa, para saídas da posição de G , tem-se o decaimento de -40dB/década (sistemas de segunda ordem)



Para saídas da velocidade de G , tem-se o decaimento de -20dB/década a partir da frequência de corte (sistemas de primeira ordem)

Fonte: Autoria Própria



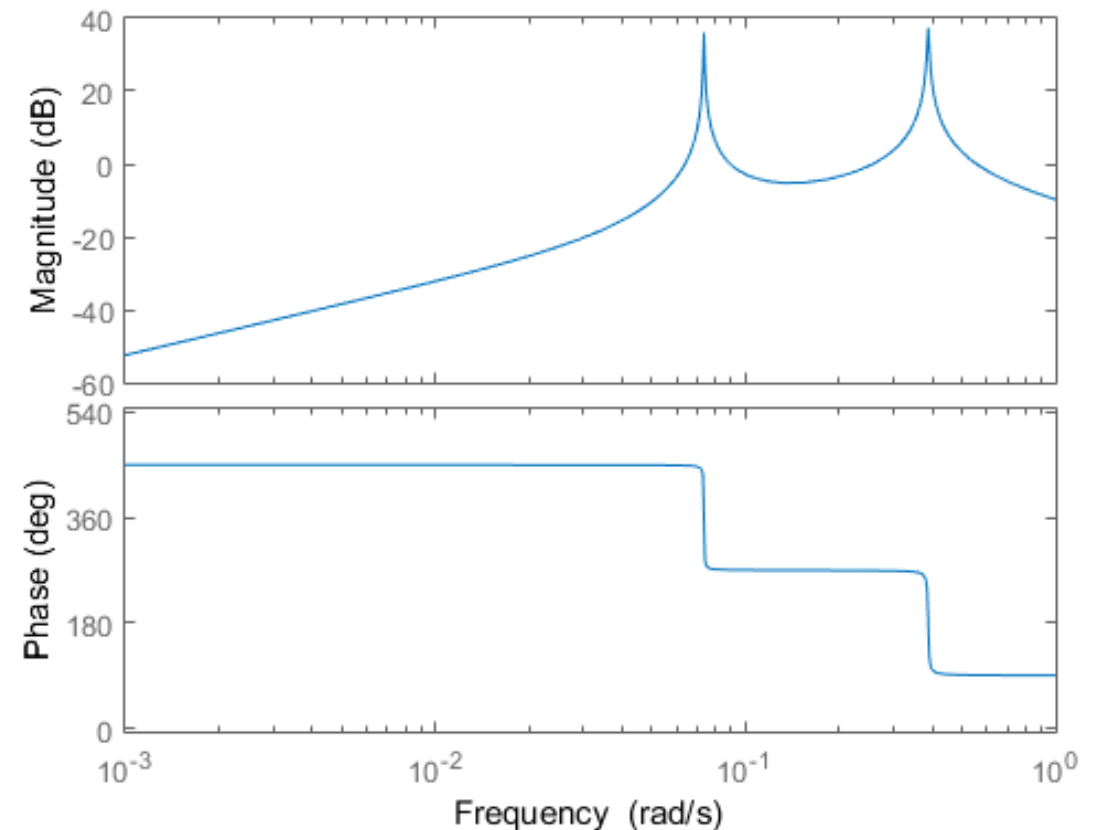
Diagramas de Bode - Respostas Angulares

Picos de ganho e quedas de fase em torno das frequências naturais 0,106 rad/s e 0,389 rad/s



Espectro ideal em torno de 0,1 e 0,4 rad/s, intervalo para o qual há maior responsividade

Saída $\dot{\theta}_2$ e entrada do torque T





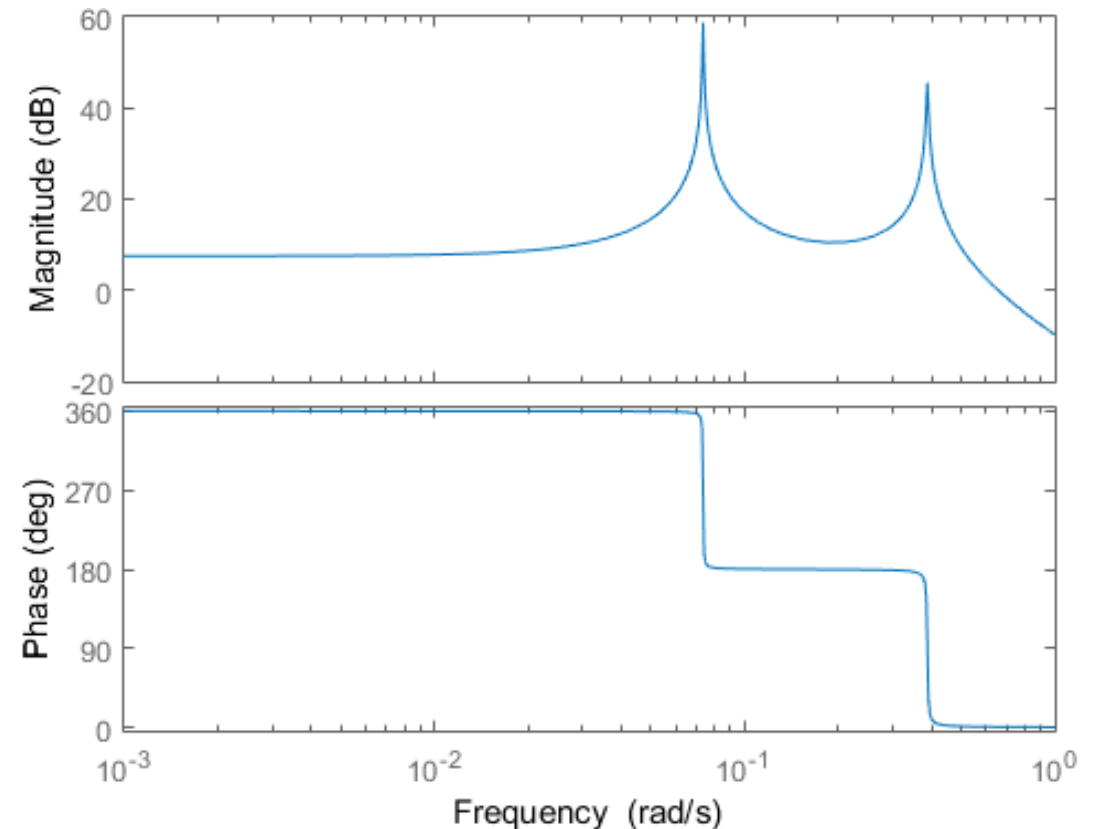
Diagramas de Bode - Respostas Angulares

Picos de ganho e quedas de fase em torno das frequências naturais 0,106 rad/s e 0,389 rad/s



Espectro ideal em torno de 0,1 e 0,4 rad/s, intervalo para o qual há maior responsividade

Saída θ_2 e entrada do torque T





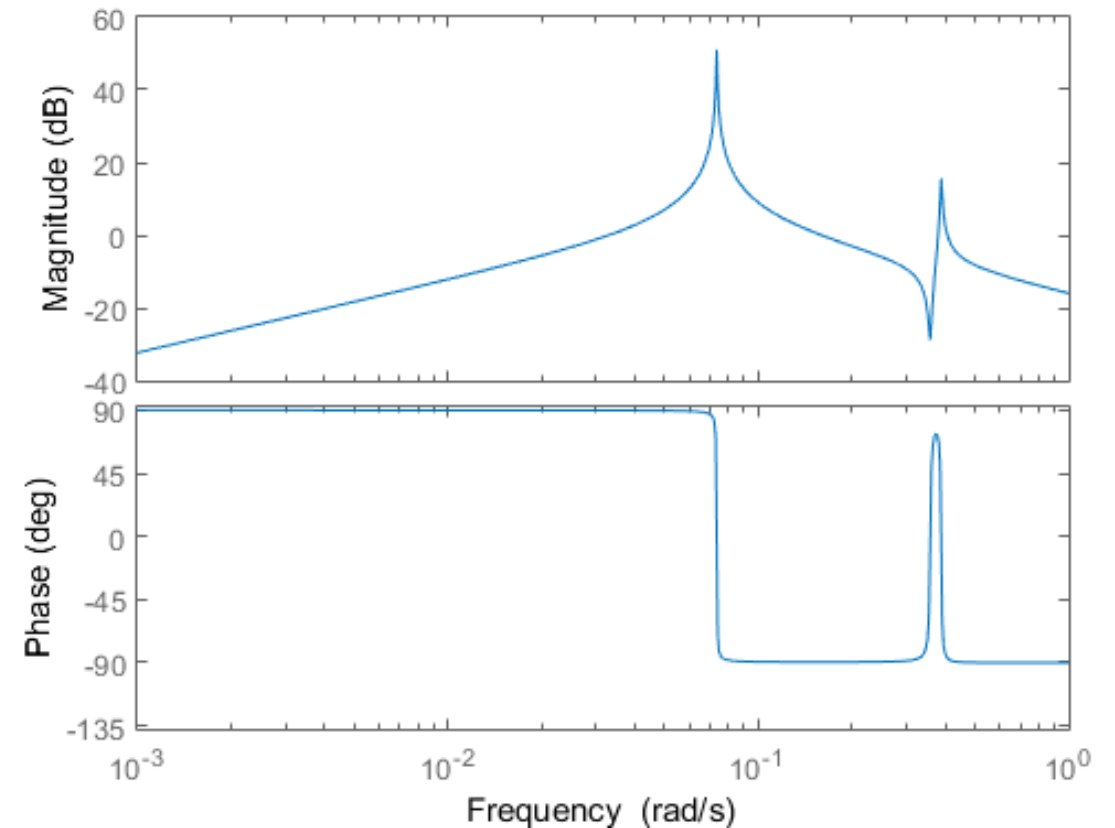
Diagramas de Bode - Respostas Angulares

Picos de ganho e grandes variações de fase em torno das frequências naturais 0,106 rad/s e 0,389 rad/s



Decaimento e variação da fase diferem das observadas para θ_2 e $\dot{\theta}_2$, caracterizando-se de segunda ordem

Saída $\dot{\theta}_3$ e entrada do torque T



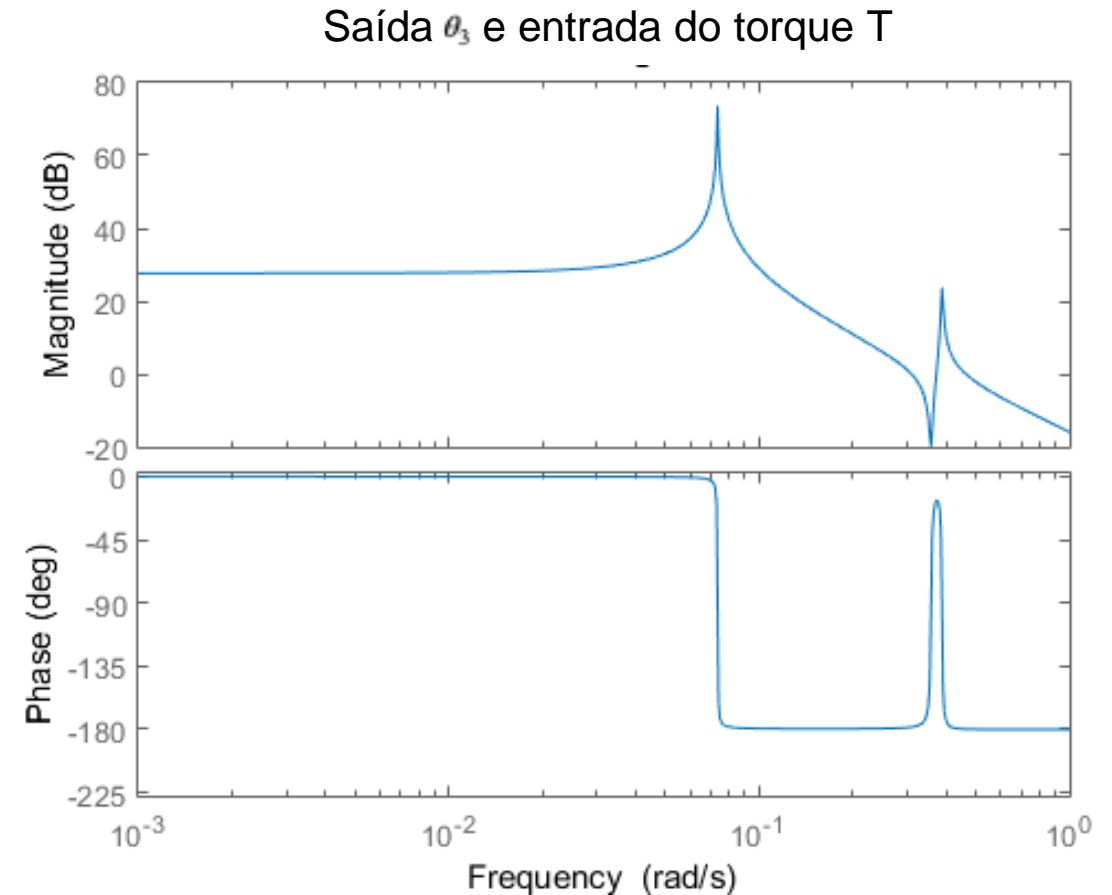


Diagramas de Bode - Respostas Angulares

Picos de ganho e grandes variações de fase em torno das frequências naturais 0,106 rad/s e 0,389 rad/s



Decaimento e variação da fase diferem das observadas para θ_2 e $\dot{\theta}_2$, caracterizando-se de segunda ordem



The background of the slide is a blue-tinted photograph of a workspace. It features several rolled-up architectural blueprints with technical drawings and dimensions. A laptop is partially visible in the upper right corner, and a black pen lies on the blueprints in the lower right. The overall scene suggests a professional or technical environment.

Respostas do Sistema no Domínio do Tempo



Respostas

- Condições Iniciais
- Resposta ao impulso
- Resposta à entrada em rampa
- Resposta à entrada em degrau
- Resposta à entrada senoidal

- Para as simulações dos sinais elementares e da entrada senoidal, foi utilizado o repouso como condição inicial

$$\begin{bmatrix} x_{G_0} \\ \dot{x}_{G_0} \\ \theta_{2_0} \\ \dot{\theta}_{2_0} \\ \theta_{3_0} \\ \dot{\theta}_{3_0} \end{bmatrix} = \begin{bmatrix} 0 \\ 0 \\ 0 \\ 0 \\ 0 \\ 0 \end{bmatrix}$$

Fonte: autores



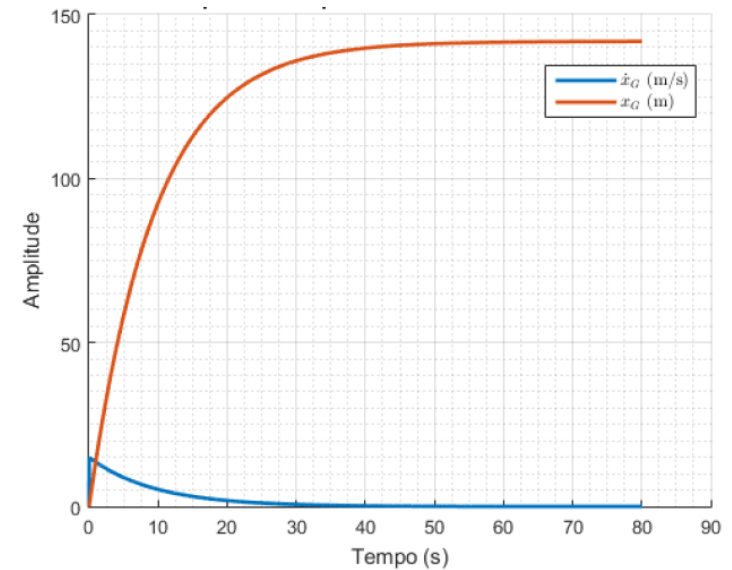
Respostas

- Condições Iniciais
- Resposta ao impulso
- Resposta à entrada em rampa
- Resposta à entrada em degrau
- Resposta à entrada senoidal

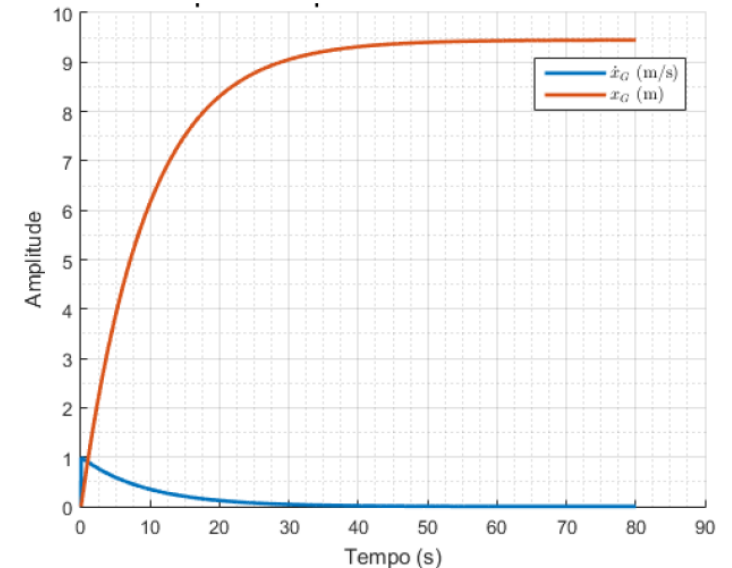
- Consiste em uma entrada com integral de sua função com valor 1, com um pico “instantâneo” ($dt \rightarrow 0$) e valor nulo no restante do tempo.

- Comportamento não oscilatório, que tende a um valor constante.

Impulso de F_{prop} :



Impulso de F_{Dcte} :



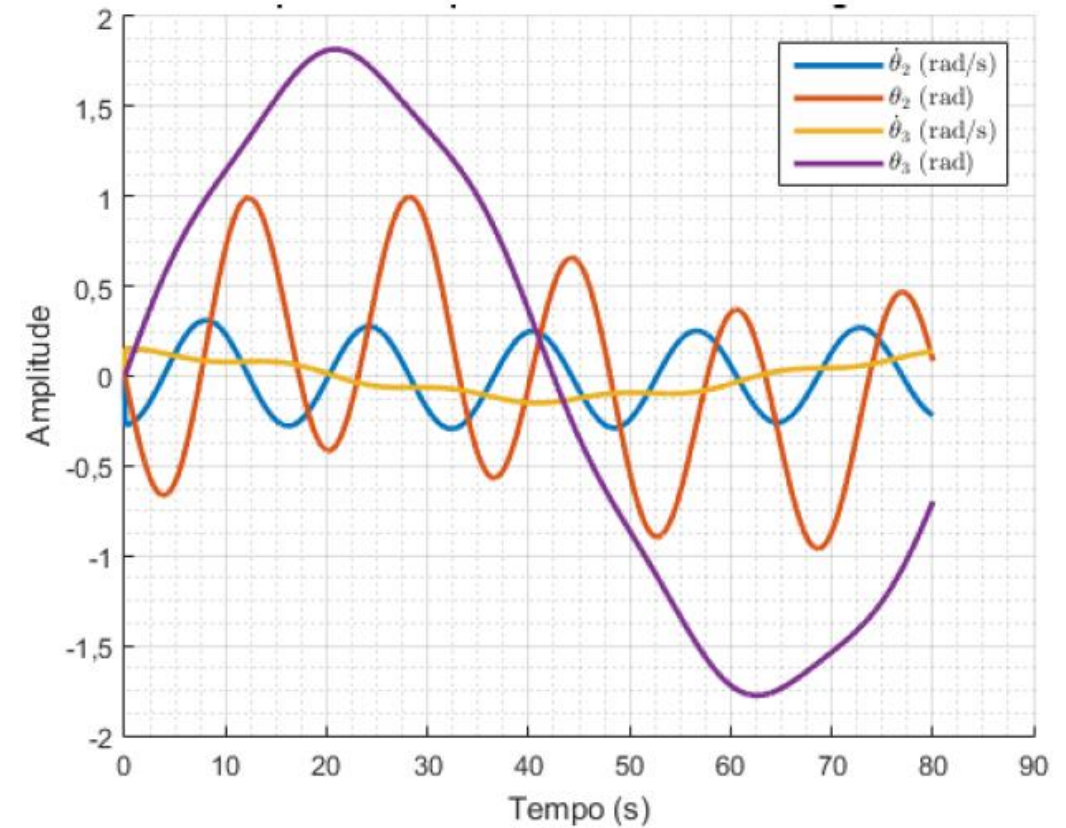


Respostas

- Condições Iniciais
- Resposta ao impulso
- Resposta à entrada em rampa
- Resposta à entrada em degrau
- Resposta à entrada senoidal

- Comportamento oscilatório e amortecido.

Impulso de T :



Resposta à entrada em rampa

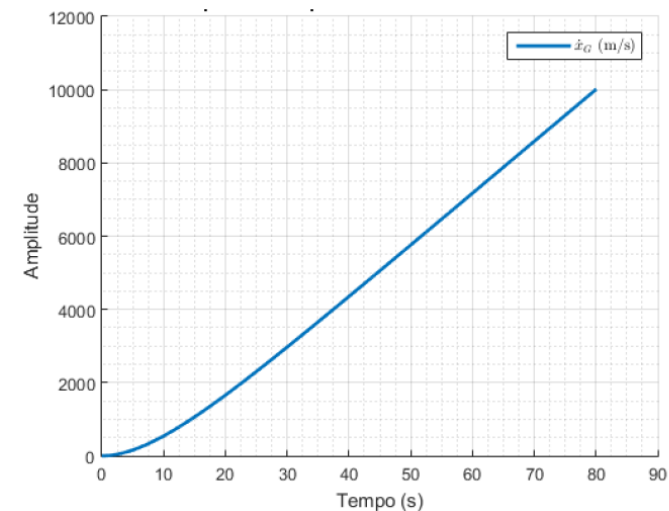
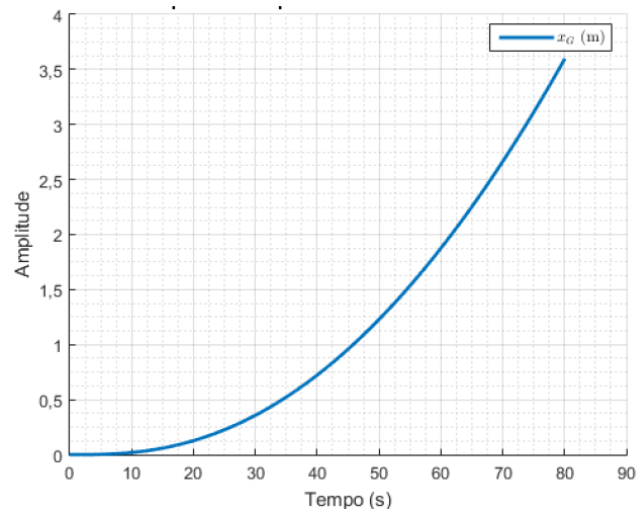


Respostas

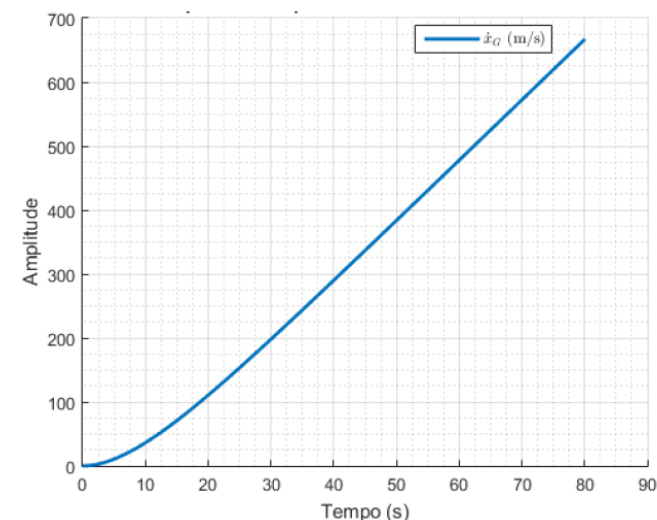
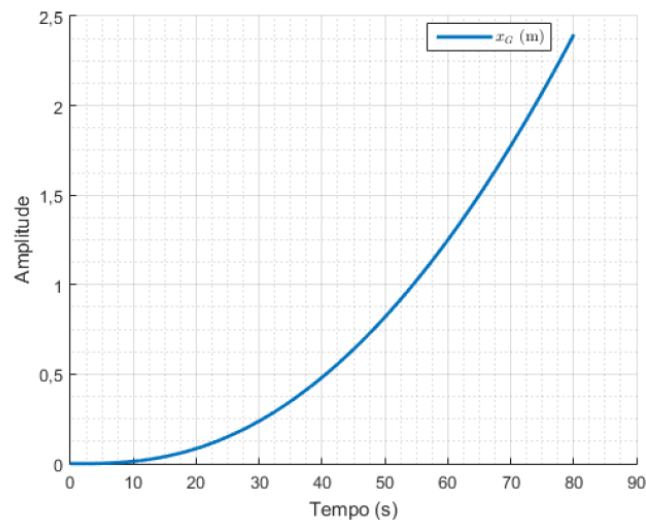
- Condições Iniciais
- Resposta ao impulso
- Resposta à entrada em rampa
- Resposta à entrada em degrau
- Resposta à entrada senoidal

- Módulo crescente no tempo de forma linear. Entrada definida como $u_F = t$.

Rampa de F_{prop} :



Rampa de F_{Dcte} :



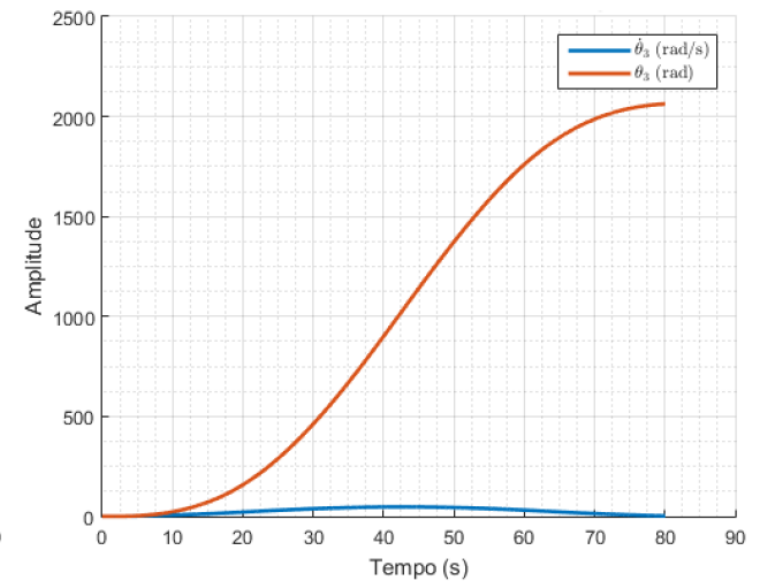
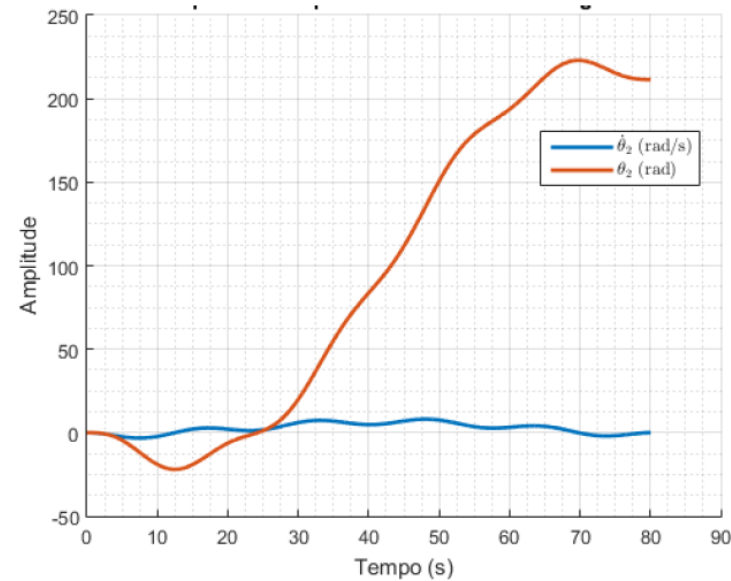


Respostas

- Condições Iniciais
- Resposta ao impulso
- Resposta à entrada em rampa
- Resposta à entrada em degrau
- Resposta à entrada senoidal

- Módulo crescente no tempo de forma linear. Entrada definida como $u_F = t$.

Rampa de T :





Respostas

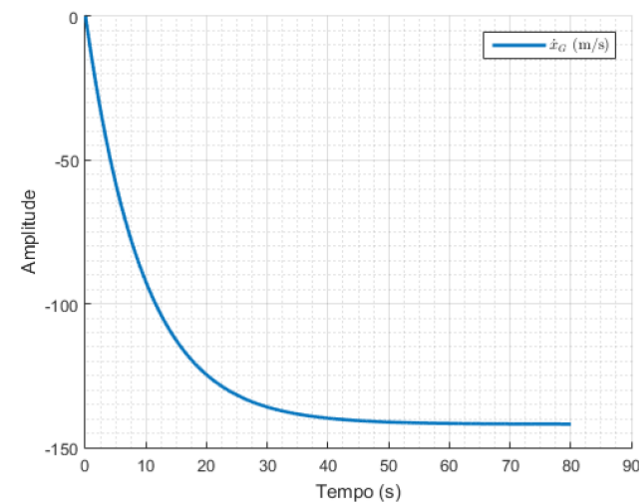
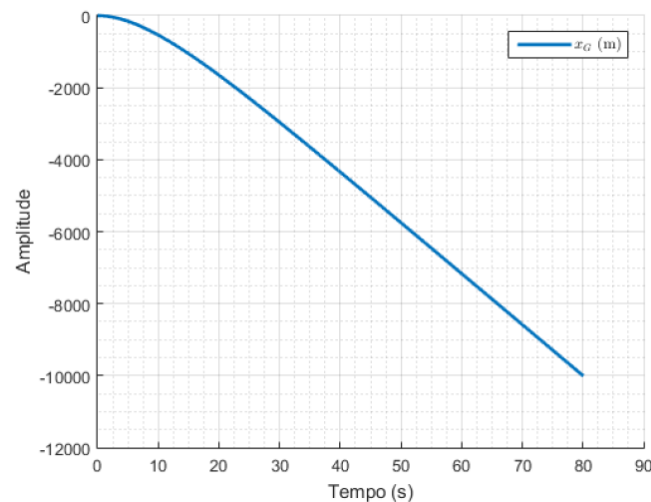
- Condições Iniciais
- Resposta ao impulso
- Resposta à entrada em rampa
- Resposta à entrada em degrau
- Resposta à entrada senoidal

- $F_{Dcte} = C_D \rho U_m^2 A_T / 2 = 0,0159.$

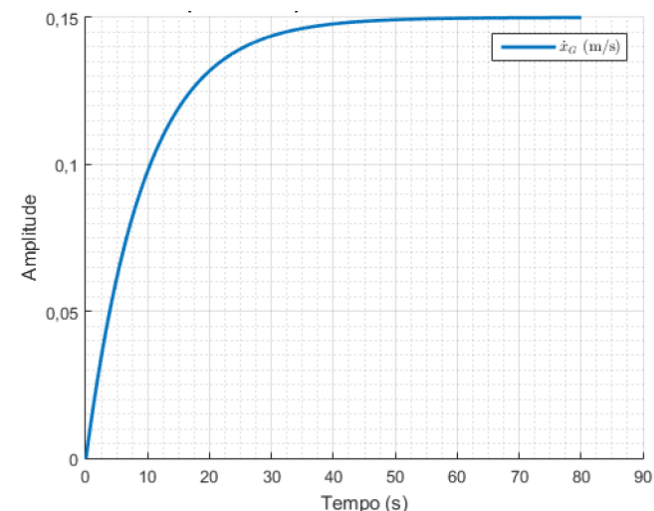
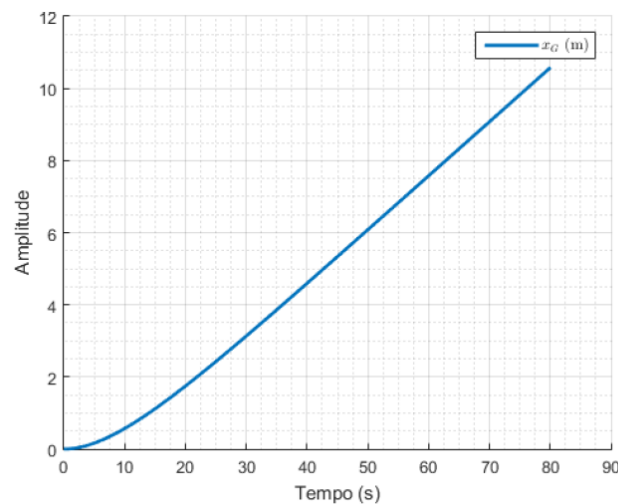
- Força de propulsão = -1

- Torque = +1

Degrau de F_{prop} :



Degrau de F_{Dcte} :



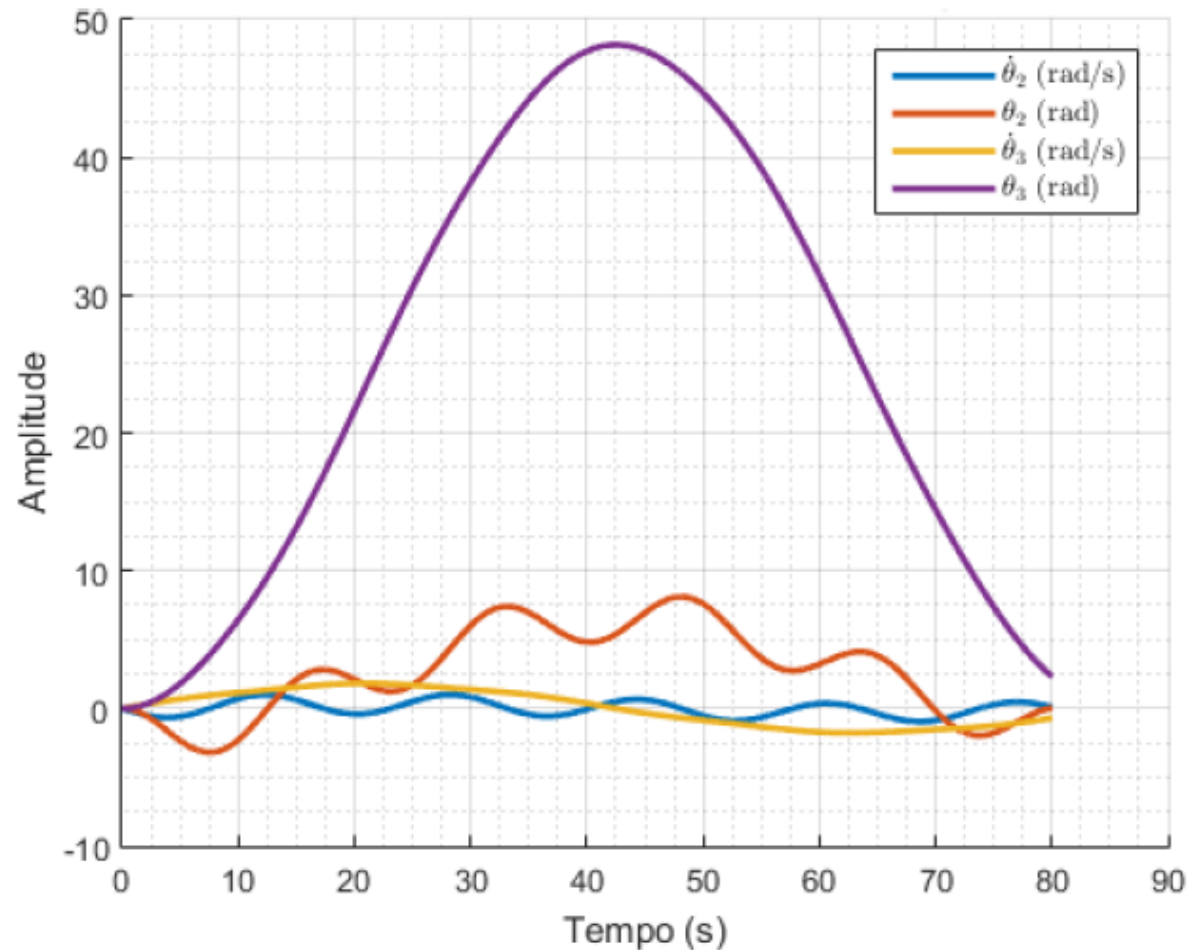


Respostas

- Condições Iniciais
- Resposta ao impulso
- Resposta à entrada em rampa
- Resposta à entrada em degrau
- Resposta à entrada senoidal

- Neste caso, a entrada em torque constante no mesmo sentido não faz ainda sentido físico, sendo esperada uma aplicação de torque oscilatória para permitir a auto-propulsão

Degrado de T :





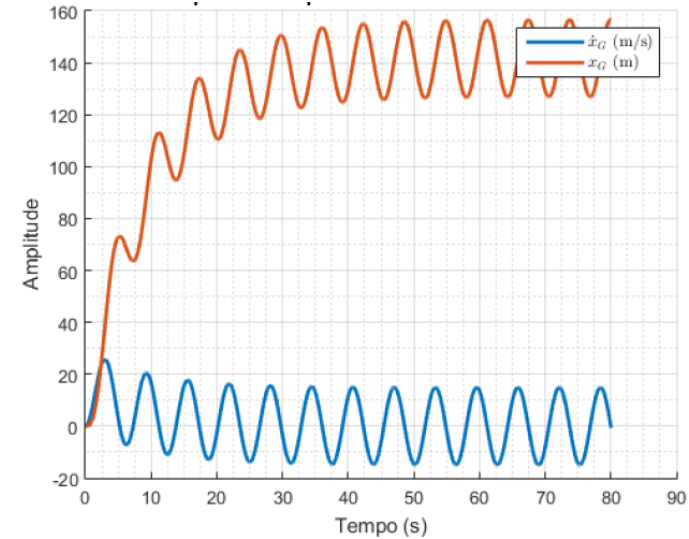
Respostas

- Condições Iniciais
- Resposta ao impulso
- Resposta à entrada em rampa
- Resposta à entrada em degrau
- Resposta à entrada senoidal

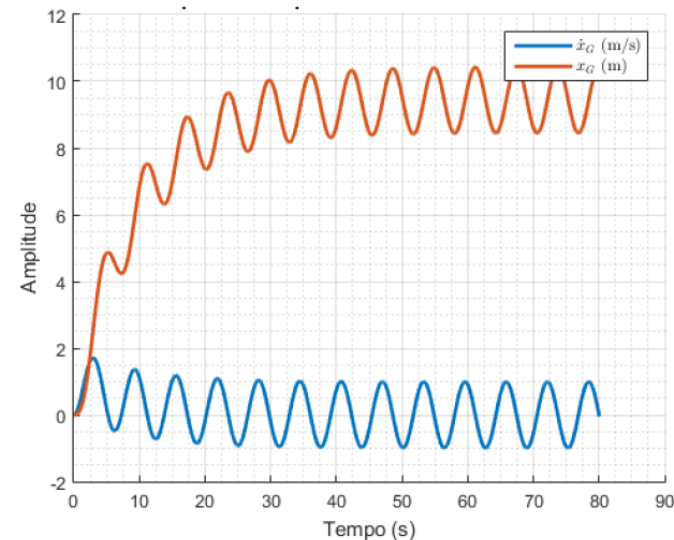
$$F_{prop_{sen}} = F_{D_{sen}} = sen(t)$$

$$T_{sen} = 0,035 \cdot sen(0,2 \cdot t)$$

F_{prop} senoidal:



$F_{D_{cte}}$ senoidal:





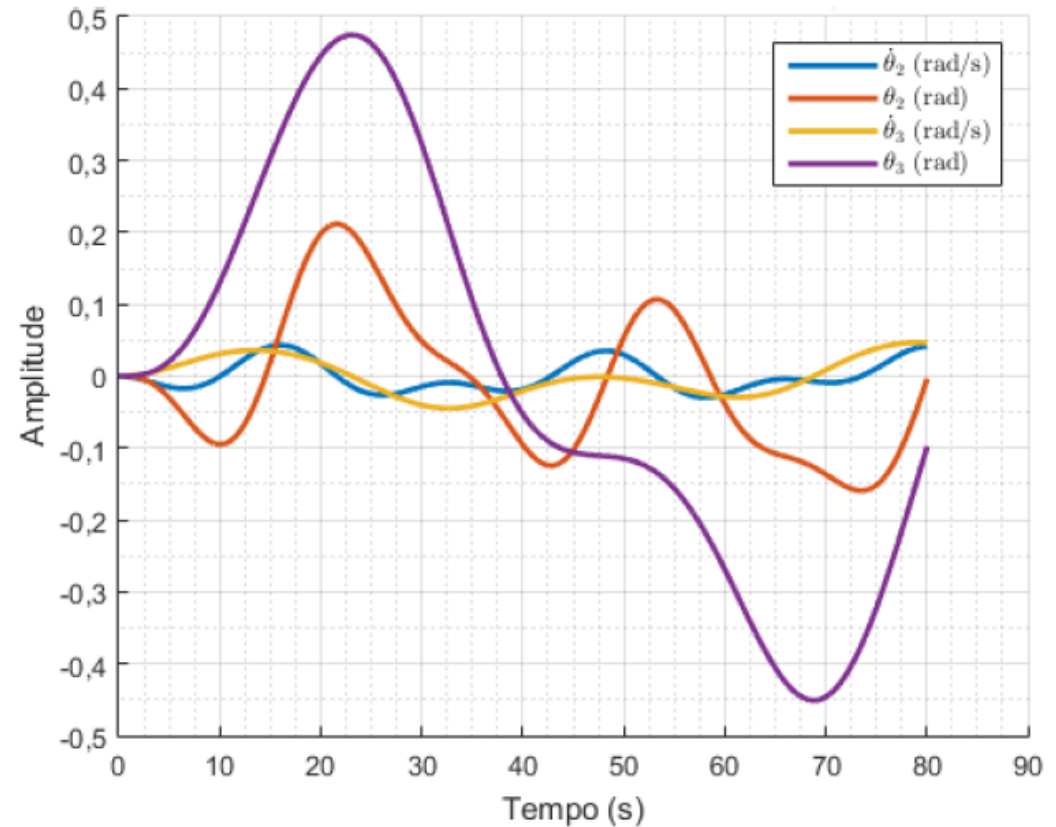
Respostas

- Condições Iniciais
- Resposta ao impulso
- Resposta à entrada em rampa
- Resposta à entrada em degrau
- Resposta à entrada senoidal

- $F_{prop_{sen}} = F_{D_{sen}} = sen(t)$

- $T_{sen} = 0,035 \cdot sen(0,2 \cdot t)$

T senoidal:





Condições iniciais diferentes de zero

- Matriz de Transição
- x_{G_0} e \dot{x}_{G_0} diferentes de zero
- θ_{2_0} , $\dot{\theta}_{2_0}$, θ_{3_0} e $\dot{\theta}_{3_0}$ diferentes de zero

- Matriz de Transição: $\Phi(t)$
- Matriz de Termos Forçantes: $\Gamma(t)$

Definição das Matrizes

$$\Phi(t) = e^{At}$$

$$\Gamma(t) = \Delta t \int_0^t e^{A(t-\tau)} dt$$

Aproximação com expressões em série

$$\Phi(\Delta t) \approx \sum_{k=0}^{n-1} \frac{A^k \Delta t^k}{k!}$$

$$\Gamma(\Delta t) \approx \Delta t \sum_{k=0}^{n-1} \frac{A^k \Delta t^k}{(k+1)!}$$



Condições iniciais diferentes de zero

➤ Matriz de Transição

➤ x_{G_0} e \dot{x}_{G_0} diferentes de zero

➤ θ_{2_0} , $\dot{\theta}_{2_0}$, θ_{3_0} e $\dot{\theta}_{3_0}$ diferentes de zero

- $n = 150$
- $\Delta t = 0,05s$

$$\Phi = \begin{bmatrix} 0.9947 & 0 & 0 & 0 & 0 & 0 \\ 0.0499 & 1.0000 & 0 & 0 & 0 & 0 \\ 0 & 0 & 0.9996 & -0.0074 & 0.0001 & 0.0013 \\ 0 & 0 & 0.0500 & 0.9998 & 0.0000 & 0.0000 \\ 0 & 0 & -0.0000 & 0.0006 & 1.0000 & -0.0004 \\ 0 & 0 & -0.0000 & 0.0000 & 0.0500 & 1.0000 \end{bmatrix}$$

$$\Gamma = \begin{bmatrix} 0.0499 & 0 & 0 & 0 & 0 & 0 \\ 0.0012 & 0.0500 & 0 & 0 & 0 & 0 \\ 0 & 0 & 0.0500 & -0.0002 & 0.0000 & 0.0000 \\ 0 & 0 & 0.0012 & 0.0500 & 0.0000 & 0.0000 \\ 0 & 0 & -0.0000 & 0.0000 & 0.0500 & -0.0000 \\ 0 & 0 & -0.0000 & 0.0000 & 0.0012 & 0.0500 \end{bmatrix}$$

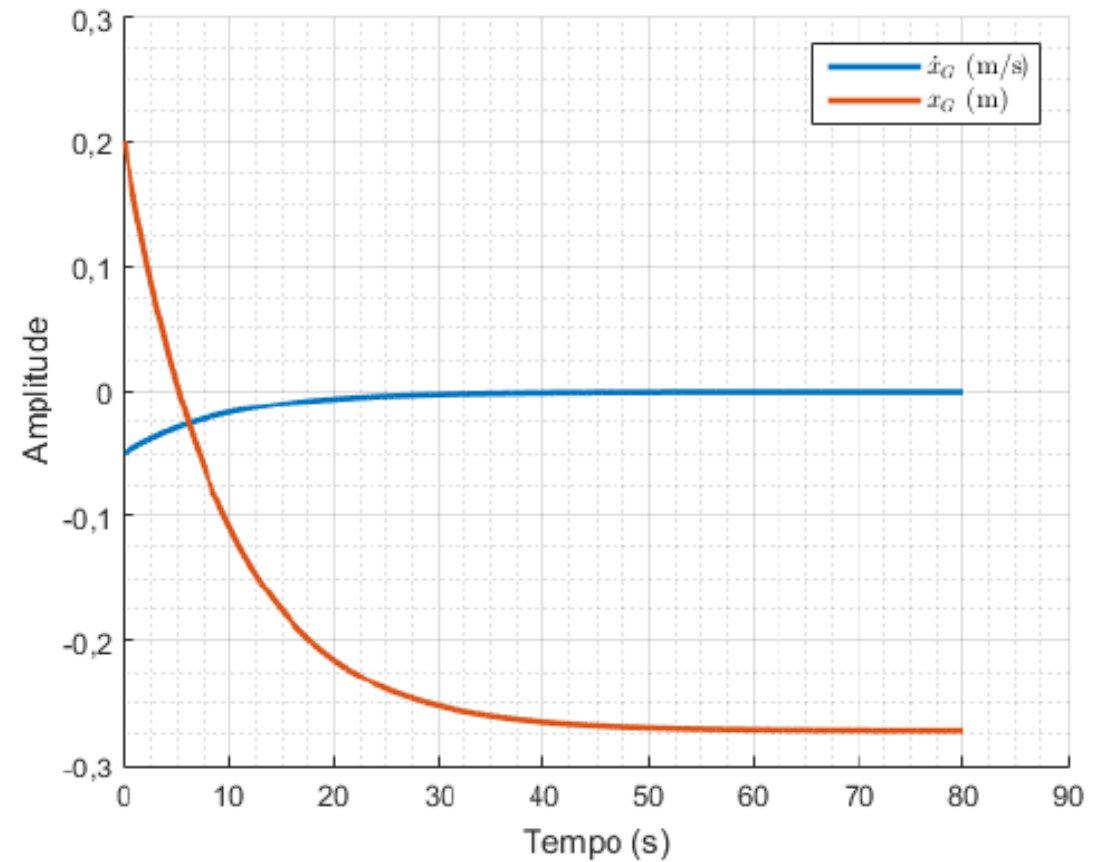


Condições iniciais diferentes de zero

- Matriz de Transição
- x_{G_0} e \dot{x}_{G_0} diferentes de zero
- θ_{2_0} , $\dot{\theta}_{2_0}$, θ_{3_0} e $\dot{\theta}_{3_0}$ diferentes de zero

$$\bullet \begin{bmatrix} x_{G_0} \\ \dot{x}_{G_0} \end{bmatrix} = \begin{bmatrix} 0,2 \\ -0,05 \end{bmatrix}$$

Respostas transversais:





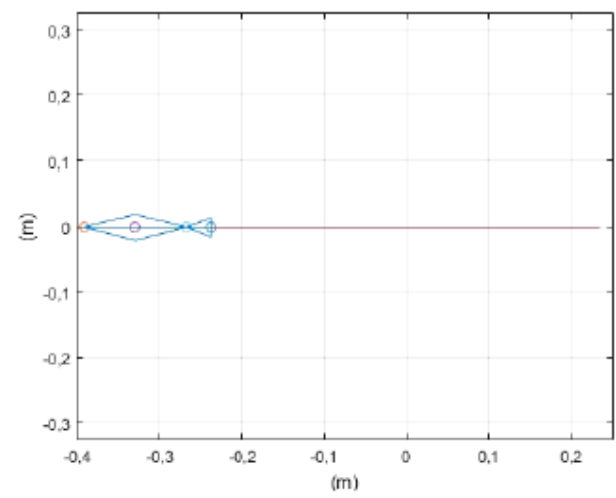
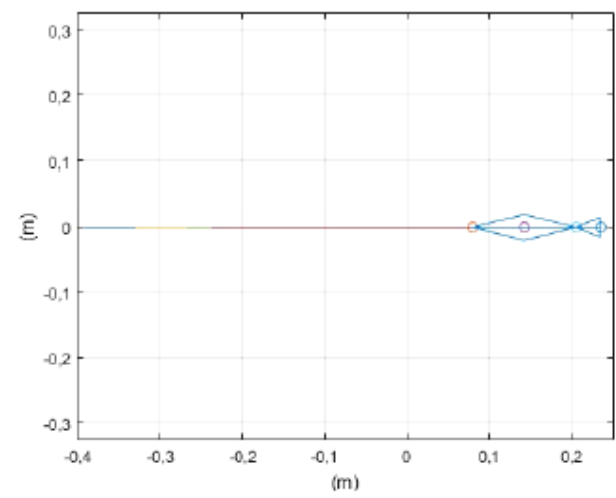
x_{G_0} e \dot{x}_{G_0} diferentes de zero

Condições iniciais diferentes de zero

- Matriz de Transição
- x_{G_0} e \dot{x}_{G_0} diferentes de zero
- θ_{2_0} , $\dot{\theta}_{2_0}$, θ_{3_0} e $\dot{\theta}_{3_0}$ diferentes de zero

•
$$\begin{bmatrix} x_{G_0} \\ \dot{x}_{G_0} \end{bmatrix} = \begin{bmatrix} 0,2 \\ -0,05 \end{bmatrix}$$

Visualização das respostas transversais:





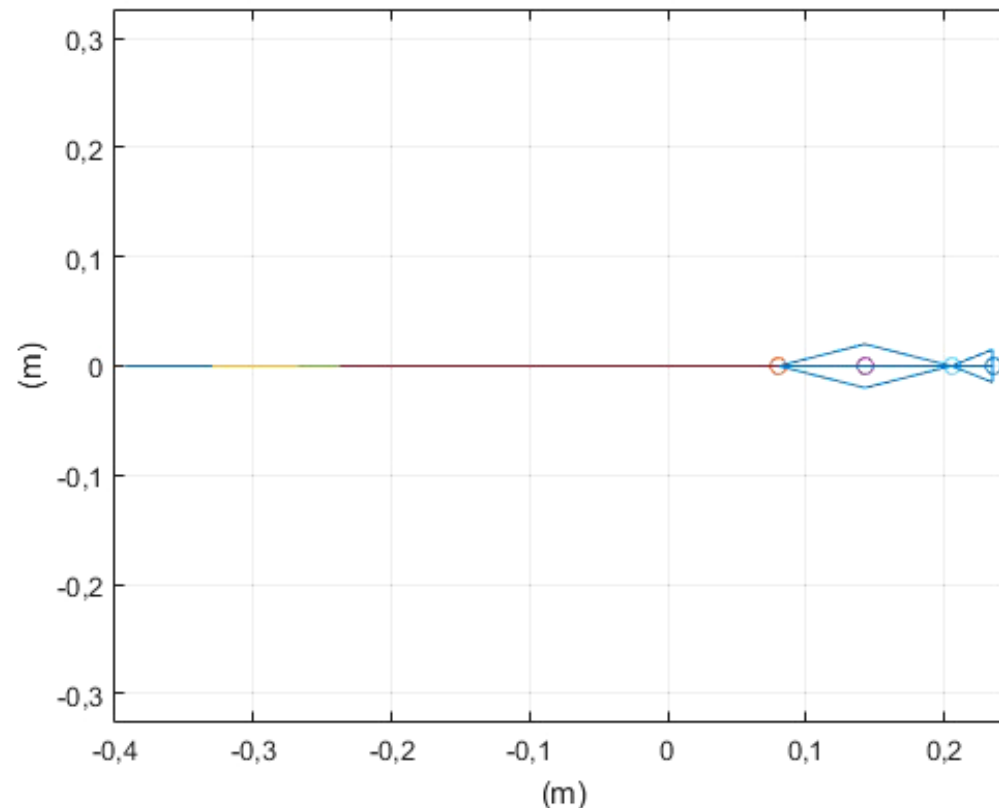
x_{G_0} e \dot{x}_{G_0} diferentes de zero

Condições iniciais diferentes de zero

- Matriz de Transição
- x_{G_0} e \dot{x}_{G_0} diferentes de zero
- θ_{2_0} , $\dot{\theta}_{2_0}$, θ_{3_0} e $\dot{\theta}_{3_0}$ diferentes de zero

•
$$\begin{bmatrix} x_{G_0} \\ \dot{x}_{G_0} \end{bmatrix} = \begin{bmatrix} 0,2 \\ -0,05 \end{bmatrix}$$

Visualização das respostas transversais:





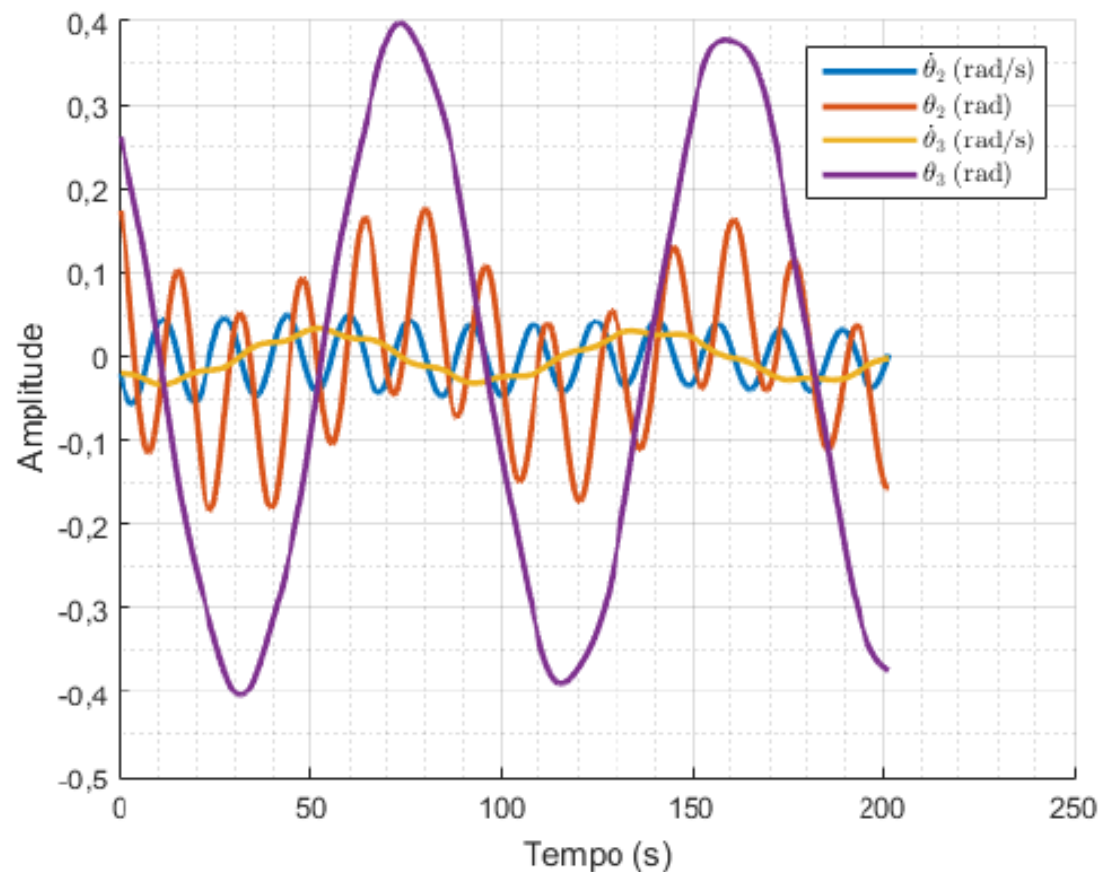
$\theta_{2_0}, \dot{\theta}_{2_0}, \theta_{3_0}$ e $\dot{\theta}_{3_0}$ diferentes de zero

Condições iniciais diferentes de zero

- Matriz de Transição
- x_{G_0} e \dot{x}_{G_0} diferentes de zero
- $\theta_{2_0}, \dot{\theta}_{2_0}, \theta_{3_0}$ e $\dot{\theta}_{3_0}$ diferentes de zero

$$\bullet \begin{bmatrix} \theta_{2_0} \\ \dot{\theta}_{2_0} \\ \theta_{3_0} \\ \dot{\theta}_{3_0} \end{bmatrix} = \begin{bmatrix} \pi/18 \\ -0,02 \\ \pi/12 \\ -0,02 \end{bmatrix}$$

Respostas angulares:





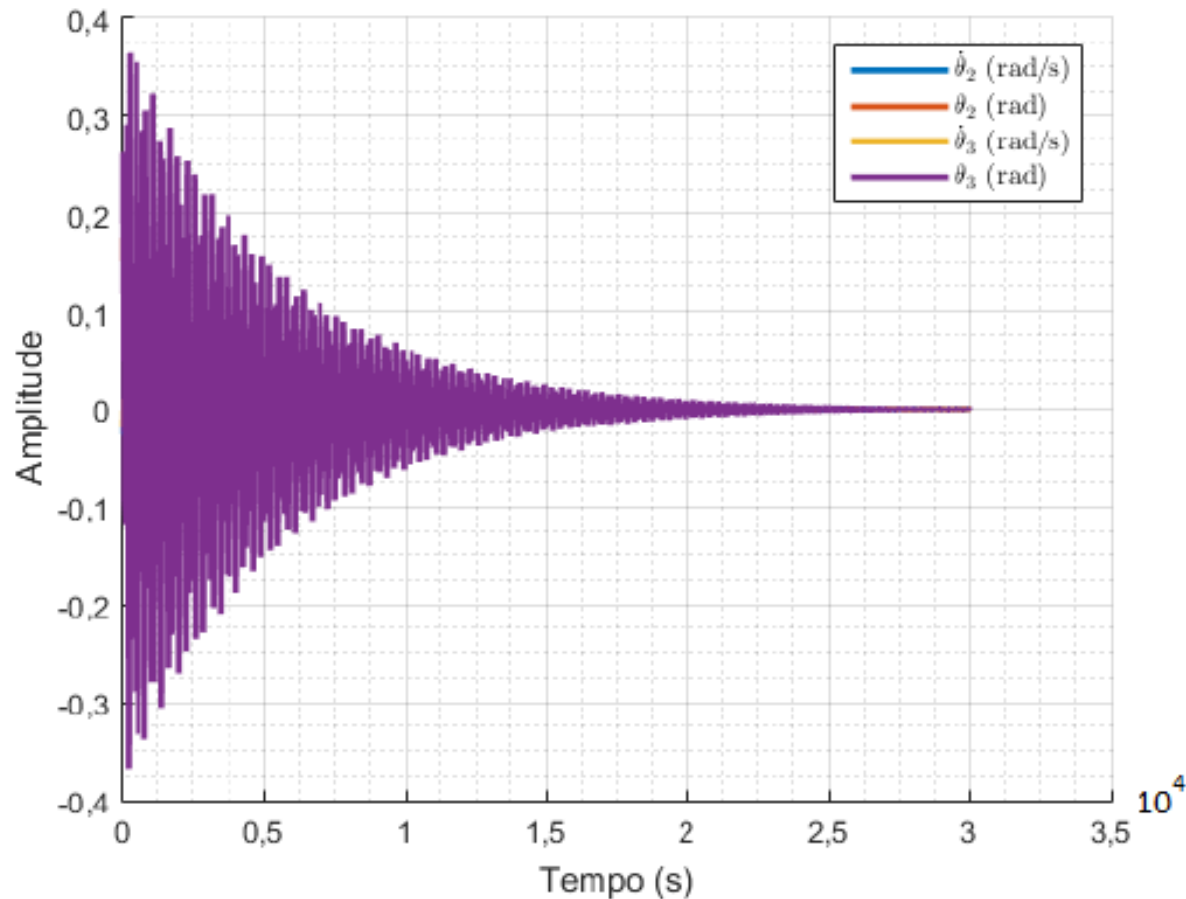
$\theta_{2_0}, \dot{\theta}_{2_0}, \theta_{3_0}$ e $\dot{\theta}_{3_0}$ diferentes de zero

Condições iniciais diferentes de zero

- Matriz de Transição
- x_{G_0} e \dot{x}_{G_0} diferentes de zero
- $\theta_{2_0}, \dot{\theta}_{2_0}, \theta_{3_0}$ e $\dot{\theta}_{3_0}$ diferentes de zero

$$\bullet \begin{bmatrix} \theta_{2_0} \\ \dot{\theta}_{2_0} \\ \theta_{3_0} \\ \dot{\theta}_{3_0} \end{bmatrix} = \begin{bmatrix} \pi/18 \\ -0,02 \\ \pi/12 \\ -0,02 \end{bmatrix}$$

Simulação com tempo elevado:



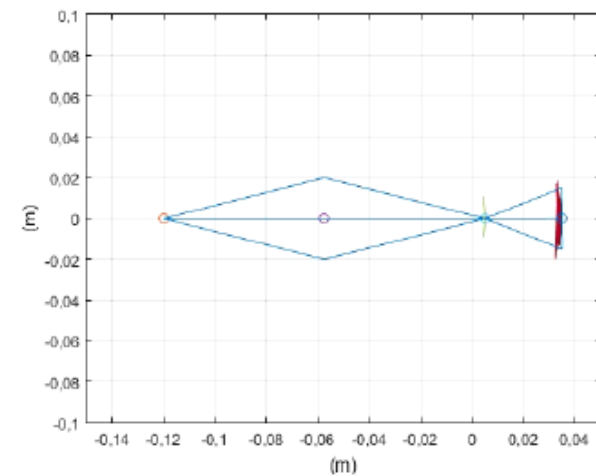
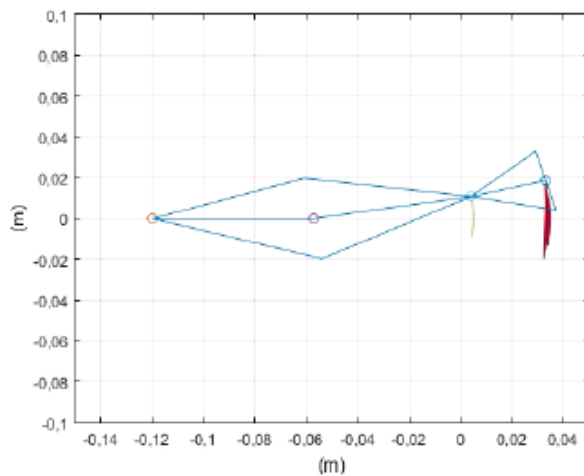


$\theta_{2_0}, \dot{\theta}_{2_0}, \theta_{3_0}$ e $\dot{\theta}_{3_0}$ diferentes de zero

Condições iniciais diferentes de zero

- Matriz de Transição
- x_{G_0} e \dot{x}_{G_0} diferentes de zero
- $\theta_{2_0}, \dot{\theta}_{2_0}, \theta_{3_0}$ e $\dot{\theta}_{3_0}$ diferentes de zero

Visualização da resposta angular:



$$\bullet \begin{bmatrix} \theta_{2_0} \\ \dot{\theta}_{2_0} \\ \theta_{3_0} \\ \dot{\theta}_{3_0} \end{bmatrix} = \begin{bmatrix} \pi/18 \\ -0,02 \\ \pi/12 \\ -0,02 \end{bmatrix}$$



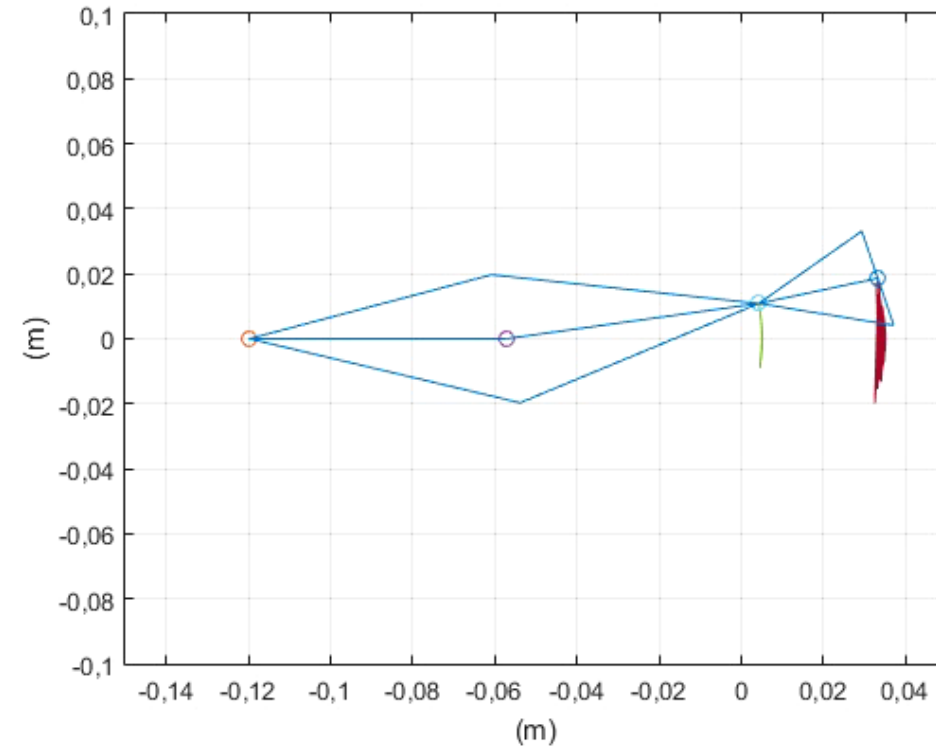
$\theta_{2_0}, \dot{\theta}_{2_0}, \theta_{3_0}$ e $\dot{\theta}_{3_0}$ diferentes de zero

Condições iniciais diferentes de zero

- Matriz de Transição
- x_{G_0} e \dot{x}_{G_0} diferentes de zero
- $\theta_{2_0}, \dot{\theta}_{2_0}, \theta_{3_0}$ e $\dot{\theta}_{3_0}$ diferentes de zero

$$\bullet \begin{bmatrix} \theta_{2_0} \\ \dot{\theta}_{2_0} \\ \theta_{3_0} \\ \dot{\theta}_{3_0} \end{bmatrix} = \begin{bmatrix} \pi/18 \\ -0,02 \\ \pi/12 \\ -0,02 \end{bmatrix}$$

Visualização da resposta angular:

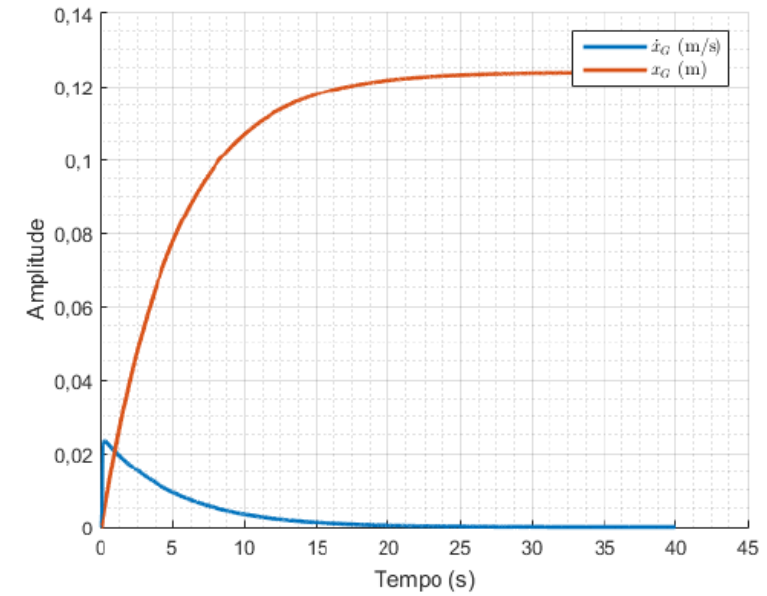




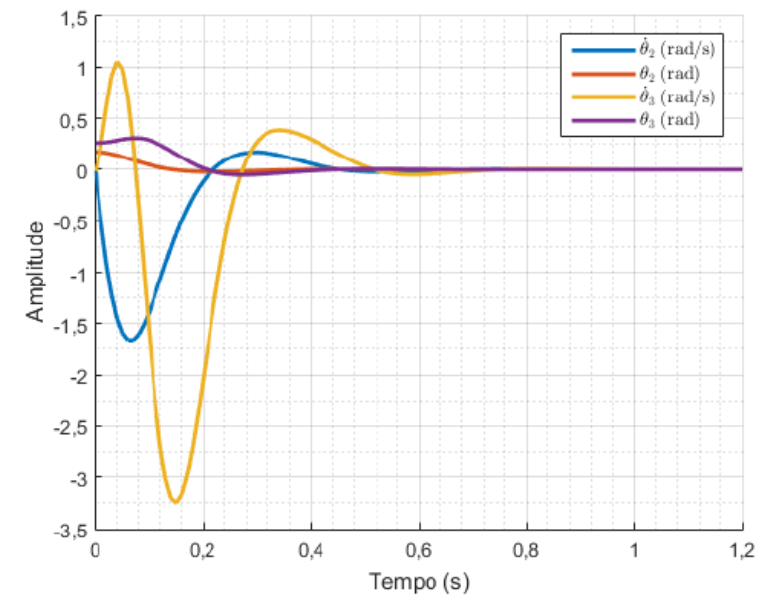
Comportamento sistema não-linear

- Forças externas nulas
- Forças externas não-nulas

Resposta de translação:



Respostas angulares:





Forças externas não-nulas

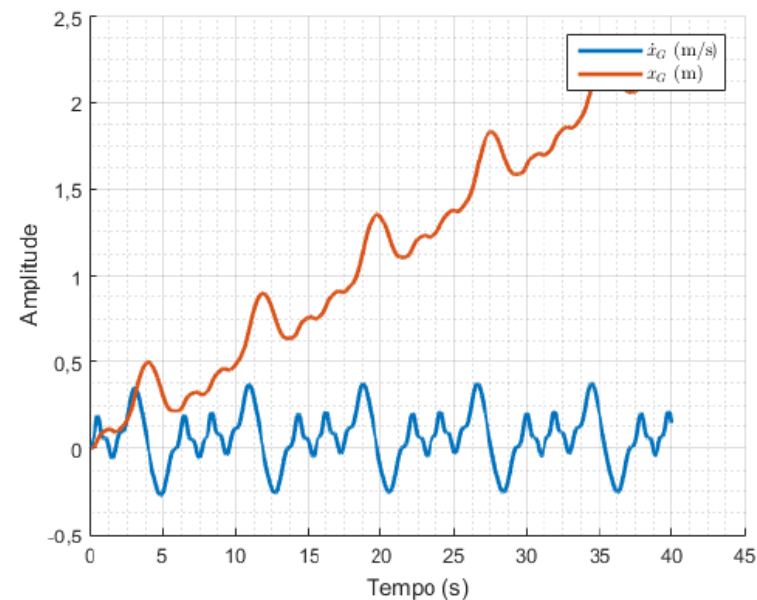
Comportamento sistema não-linear

- Forças externas nulas
- Forças externas não-nulas

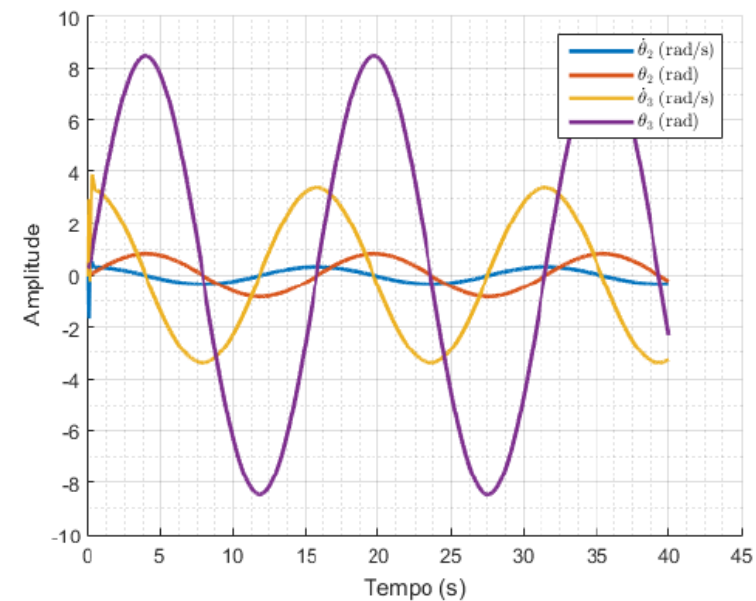
$$F_{Dcte} = \frac{C_D \rho U_m^2 A_T}{2} = 0,0159 N$$

$$T = 0,35 \cdot \text{sen}(0,4t)$$

Resposta de translação:



Respostas angulares:

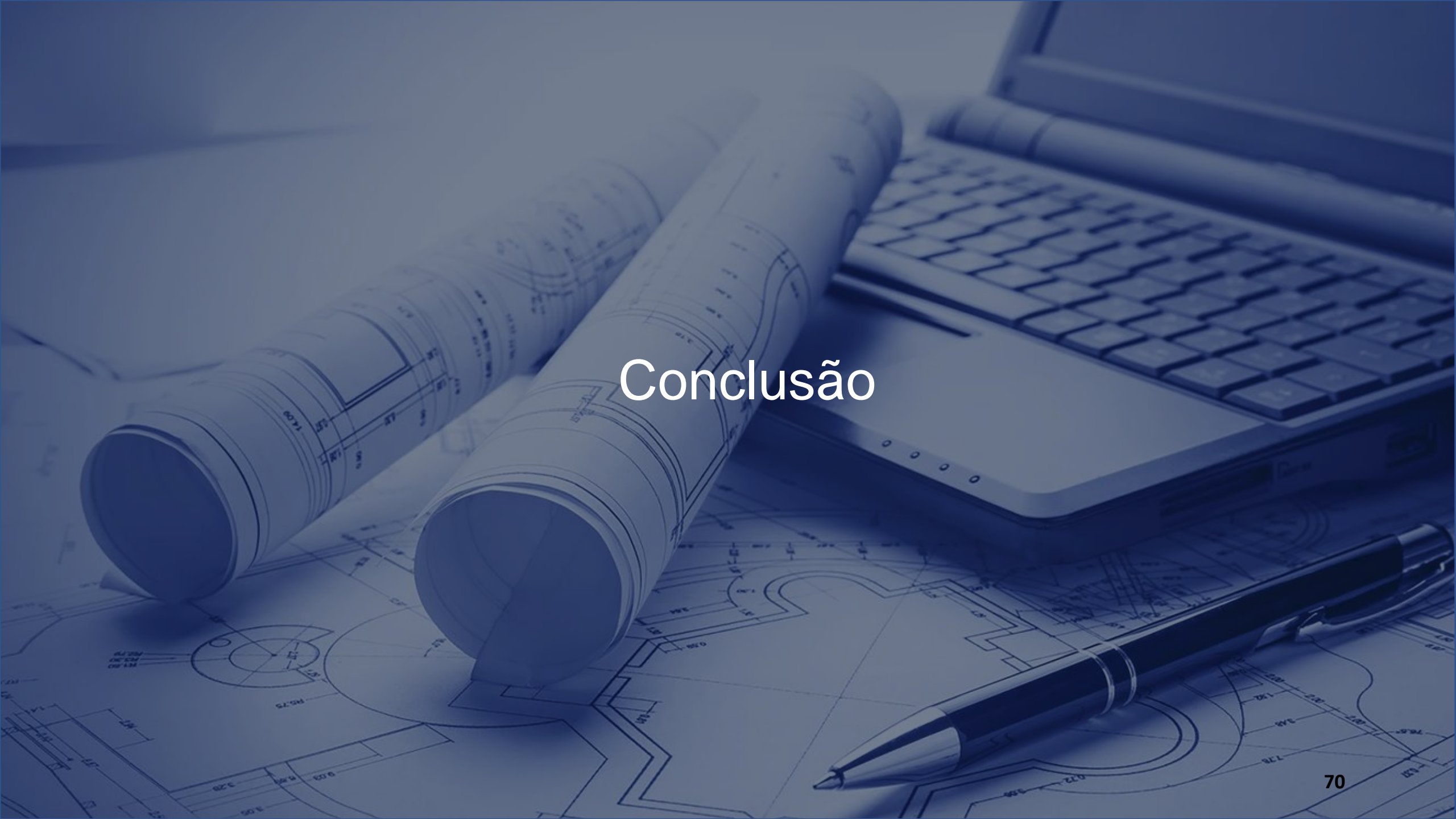


The background of the slide features a blue-tinted image of architectural blueprints spread across a desk. A laptop is partially visible in the upper right corner, and a black pen lies on the blueprints in the lower right. The overall scene suggests a professional or academic setting related to engineering or design.

Verificação da Hipótese Inicial



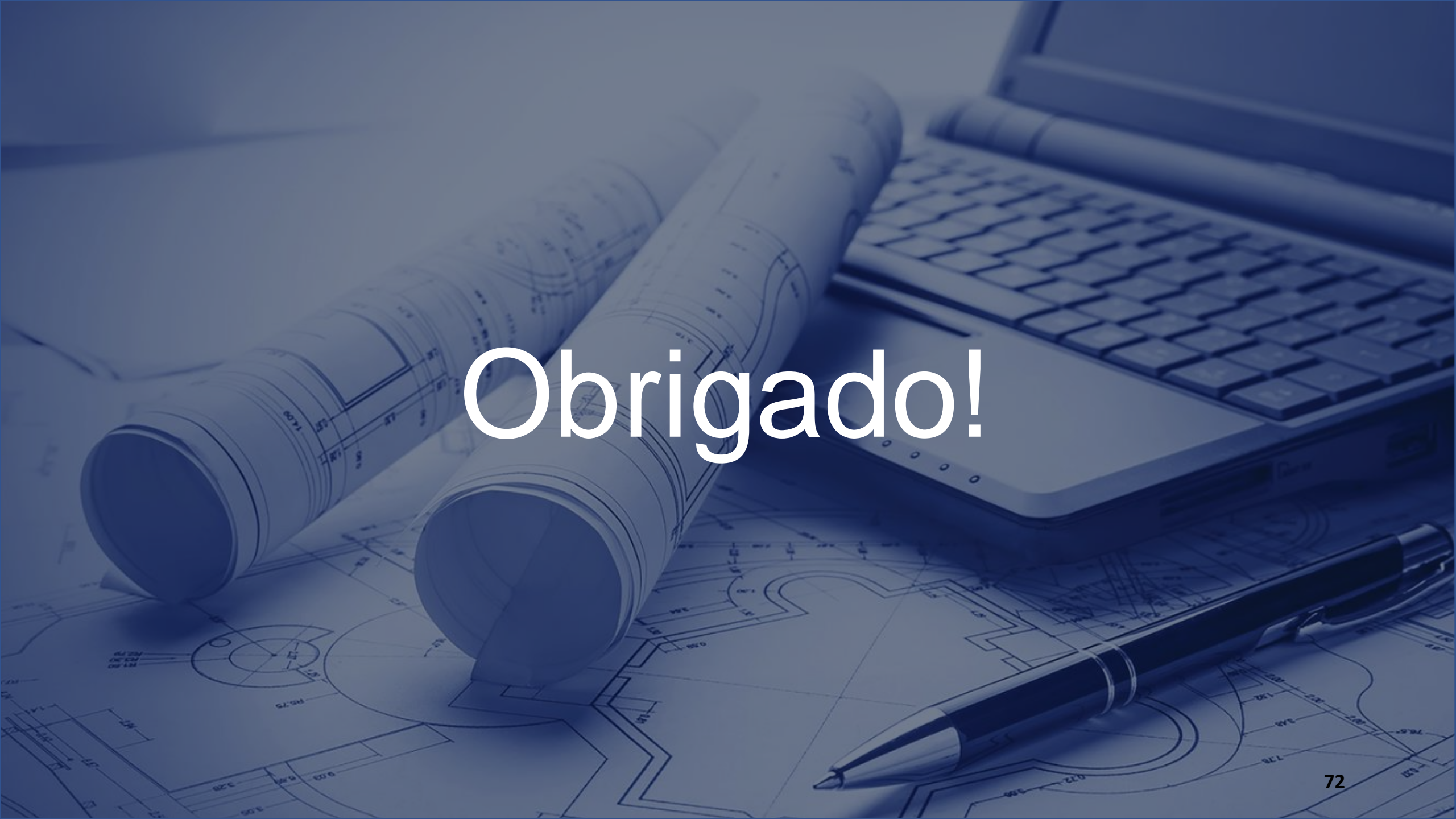
- Observamos que, para a aplicação de um torque dado por: $T = 0,35 \cdot \text{sen}(0,4t)$, temos que a velocidade linear do centro de massa é oscilatória, de módulo não muito elevado.
- Devido ao fato de a média dos valores da velocidade é levemente positivo, o deslocamento do centro de massa é crescente. Vale ressaltar que, neste caso com x_G crescendo positivamente, o peixe estaria indo para trás.
- Dessa forma, acredita-se ser possível determinar um ganho de controle ou método mais adequado que leve a uma oscilação mais baixa da velocidade linear e uma oscilação em torno de zero do deslocamento também. Ou seja, com um controle adequado, seria possível sim utilizar-se da simplificação de que a velocidade e o deslocamento lineares são praticamente desprezíveis.

The background of the slide features a monochromatic blue-tinted image of architectural blueprints. Two rolled-up blueprints are positioned diagonally across the left side. In the upper right, a laptop is partially visible, showing its keyboard. In the lower right, a black pen with silver accents lies on the blueprints. The overall scene suggests a professional or technical environment.

Conclusão



- Foi inicialmente determinado o modelo físico adotado para o sistema e realizada a sua modelagem matemática. Com uso de conceitos de mecânica clássica e hidrodinâmica, foi possível desenvolver uma complexa equação de movimento
- O modelo obtido inicialmente era altamente não-linear. Foi, pois, empregada a linearização por expansão em Série de Taylor, obtendo pois uma equação linear que descreve o movimento em torno do repouso, considerado o ponto de operação do sistema. Dada a inevitável não-linearidade no termo que multiplicava o torque no movimento transversal, foi necessária a definição de uma força auxiliar que representava a força de propulsão do peixe. Essa adaptação permitiu uma análise mais completa do sistema
- Foi então definido o espaço de estados do sistema, suas funções de transferência e seus polos e zeros. Com isso, permitiu-se verificar que o sistema é marginalmente estável
- A resposta no domínio da frequência deixou bem evidente as características acarretadas pelos polos dominantes e os picos de ressonância nas frequências naturais. Assim, foi possível inferir faixas frequências de interesse para o desenvolvimento do projeto, lembrando que não se procuravam respostas que fossem atenuadas pelo sistema
- Na posterior análise no domínio do tempo, foi então verificado o comportamento do sistema para múltiplas entradas. Com destaque para as entradas em degrau e senoidais (de maior interesse para o sistema), foram apresentados resultados condizentes com o esperado.
- A análise por matriz de transição foi de grande valia para reafirmação da estabilidade marginal do sistema e para verificar o amortecimento natural do sistema. Observou-se que, sem a aplicação de esforços externos, o tempo para o sistema amortecer é extremamente alto, o que reflete a baixa magnitude dos coeficientes de amortecimento
- Por fim, foi realizada a simulação do sistema com as equações não lineares, de tal forma que foi possível validar a linearização realizada e observar a correlação entre as variáveis angulares e de translação

The background is a monochromatic blue-tinted image. It shows architectural blueprints spread out on a surface. A laptop is partially visible in the upper right corner. A pen lies diagonally across the bottom right of the frame. Two rolled-up blueprints are positioned in the center-left. The word 'Obrigado!' is written in a large, white, sans-serif font across the middle of the image.

Obrigado!